



ZÁVĚREČNÁ ZPRÁVA O VÝSLEDČÍCH EXPERIMENTU SHODNOSTI

PROGRAM ZKOUŠENÍ ZPŮSOBILOSTI

Zkoušení zdicích prvků

ZZP 2017/1

Poskytovatel zkoušení způsobilosti při SZK FAST

Veveří 95, 602 00 Brno

Czech Republic

www.szok.fce.vutbr.cz, ptprovider.cz

Datum vydání: 15. prosince 2017

Vedoucí PoZZ, koordinátor PrZZ

Koordinátor hodnocení výsledků PrZZ

doc. Ing. Tomáš Vymazal, Ph.D.

Ing. Petr Misák, Ph.D.

Obsah

1 Úvod a důležité kontakty	3
2 Postupy statistické analýzy experimentu shodnosti	4
2.1 Numerický postup zjišťování odlehlých hodnot	5
2.1.1 Cochranův test	5
2.1.2 Grubbsův test – jedno odlehlé pozorování	5
2.2 Mandelovy statistiky	6
2.2.1 Mezilaboratorní statistika konzistence h	6
2.2.2 Vnitrolaboratorní statistika konzistence k	6
2.3 Výpočet odhadů rozptylů	6
2.3.1 Rozptyl opakovatelnosti	6
2.3.2 Mezilaboratorní rozptyl	6
2.3.3 Rozptyl reprodukovatelnosti	7
2.4 Opakovatelnost a reprodukovatelnost	7
2.5 Vztažná hodnota	7
2.6 Výpočet statistik výkonnosti	8
3 Závěry statistické analýzy	9
3.1 ČSN EN 772-1 (Pevnost v tlaku)	9
3.2 ČSN EN 772-3 (Skutečný a poměrný objem otvorů)	9
3.3 ČSN EN 772-6 (Pevnost v tahu za ohybu)	9
3.4 ČSN EN 772-7 (Nasákavost varem)	9
3.5 ČSN EN 772-10 (Vlhkost)	9
3.6 ČSN EN 772-11 (Nasákavost)	10
3.7 ČSN EN 772-13 (Objemová hmotnost)	10
3.8 ČSN EN 15435, čl. 4.9.3, Příloha B (Pevnost bočnic v ohybu)	10
3.9 ČSN EN 15435, čl. 5.2 (Objemová hmotnost)	10
Normativní dokumenty a odkazy	11
Příloha	12
1 Příloha – ČSN EN 772-1 (Pevnost v tlaku)	12
1.1 Výsledky zkoušek	12
1.2 Numerické zhodnocení odlehlých hodnot	12
1.3 Mandelovy statistiky konzistence	13
1.4 Vyhodnocení výkonnosti účastníků	14
2 Příloha – ČSN EN 772-3 (Skutečný a poměrný objem otvorů)	17
2.1 Skutečný objem otvorů	17
2.1.1 Výsledky zkoušek	17
2.1.2 Numerické zhodnocení odlehlých hodnot	17
2.1.3 Mandelovy statistiky konzistence	19
2.1.4 Vyhodnocení výkonnosti účastníků	20
2.2 Poměrný objem otvorů	22
2.2.1 Výsledky zkoušek	22
2.2.2 Numerické zhodnocení odlehlých hodnot	23
2.2.3 Mandelovy statistiky konzistence	24
2.2.4 Vyhodnocení výkonnosti účastníků	25
3 Příloha – ČSN EN 772-6 (Pevnost v tahu za ohybu)	27
4 Příloha – ČSN EN 772-7 (Nasákavost varem)	27

5 Příloha – ČSN EN 772-10 (Vlhkost)	27
6 Příloha – ČSN EN 772-11 (Nasákavost)	28
6.1 Výsledky zkoušek	28
6.2 Numerické zhodnocení odlehlých hodnot	28
6.3 Mandelovy statistiky konzistence	29
6.4 Vyhodnocení výkonnosti účastníků	30
7 Příloha – ČSN EN 772-13 (Objemová hmotnost)	33
7.1 Výsledky zkoušek	33
7.2 Numerické zhodnocení odlehlých hodnot	33
7.3 Mandelovy statistiky konzistence	35
7.4 Vyhodnocení výkonnosti účastníků	36
8 Příloha – ČSN EN 15435, čl. 4.9.3, Příloha B (Pevnost bočnic v ohybu)	38
9 Příloha – ČSN EN 15435, čl. 5.2 (Objemová hmotnost)	38

1 Úvod a důležité kontakty

V roce 2017 byl Poskytovatelem zkoušení způsobilosti při SZK FAST (PoZZ) zahájen program zkoušení způsobilosti (PrZZ) s označením ZZP 2017/1, jehož cílem bylo ověřit a posoudit shodnost výsledků zkoušek zdicích prvků.

Posouzení výsledků programu zkoušení způsobilosti měla na starost komise složená z následujících pracovníků PoZZ:

Vedoucí PoZZ, koordinátor PrZZ

doc. Ing. Tomáš Vymazal, Ph.D.

Vysoké učení technické v Brně

Fakulta stavební

Ústav stavebního zkušebnictví

Veveří 95, Brno 602 00

Tel.: +420 603 313 337

Email: Tomas.Vymazal@vutbr.cz

Koordinátor hodnocení výsledků PrZZ

Ing. Petr Misák, Ph.D.

Vysoké učení technické v Brně

Fakulta stavební

Ústav stavebního zkušebnictví

Veveří 95, Brno 602 00

Tel.: +420 774 980 255

Email: Petr.Misak@vutbr.cz

Předmětem zkoušení způsobilosti byly následující zkušební postupy:

1. **ČSN EN 772-1:** Zkušební metody pro zdicí prvky - Část 1: Stanovení pevnosti v tlaku, 2016. [1]
2. **ČSN EN 772-3:** Zkušební metody pro zdicí prvky - Část 3: Stanovení skutečného a poměrného objemu otvorů v pálených zdicích prvcích hydrostatickým vážením, 1999. [2]
3. **ČSN EN 772-6:** Zkušební metody pro zdicí prvky - Část 6: Stanovení pevnosti v tahu za ohybu betonových tvárnic, 2002. [3]
4. **ČSN EN 772-7:** Zkušební metody pro zdicí prvky - Část 7: Stanovení nasákavosti varem pálených zdicích prvků pro izolační vrstvy proti vlhkosti, 1999. [4]
5. **ČSN EN 772-10:** Zkušební metody pro zdicí prvky - Část 10: Stanovení vlhkosti vápenopískových zdicích prvků a pórobetonových tvárnic, 1999. [5]
6. **ČSN EN 772-11:** Zkušební metody pro zdicí prvky - Část 11: Stanovení nasákavosti betonových tvárnic a zdicích prvků z umělého a přírodního kamene vlivem kapilarity a počáteční rychlosti nasákavosti pálených zdicích prvků, 2011. [6]
7. **ČSN EN 772-13:** Zkušební metody pro zdicí prvky - Část 13: Stanovení objemové hmotnosti materiálu zdicích prvků za sucha a objemové hmotnosti zdicích prvků za sucha (kromě zdicích prvků z přírodního kamene), 2001. [7]
8. **ČSN EN 15435:** Betonové prefabrikáty - Bednicí tvárnice z obvyčejného a lehkého betonu - Vlastnosti výrobku, 2009, čl. 4.9.3, Příloha B. [8]
9. **ČSN EN 15435:** Betonové prefabrikáty - Bednicí tvárnice z obvyčejného a lehkého betonu - Vlastnosti výrobku, 2009, čl. 5.2. [8]

Zkušební postupy číslo 3 – 5, 8 a 9 nebyly otevřeny s ohledem na nízký počet účastníků.

Výsledky zkoušek jednotlivých účastníků PrZZ byly vzájemně porovnány metodou statistické analýzy experimentu shodnosti podle ČSN ISO 5725-2 a podle ČSN EN ISO/IEC 17043. Výsledkem řešení je tato závěrečná zpráva, která shrnuje výsledky experimentu shodnosti, včetně statistického vyhodnocení.

Programu se zúčastnilo celkem 10 pracovišť. Pro zachování anonymity účastníků PrZZ je každému pracovišti přiděleno identifikační číslo, které je dále v tomto dokumentu používáno. Nedílnou součástí této závěrečné zprávy je osvědčení o účasti v programu zkoušení způsobilosti, které je pro každého účastníka jedinečné a je zde uvedeno ID účastníka, pod kterým vystupuje v této zprávě. V následující tabulce je znázorněna účast pracovišť v jednotlivých částech PrZZ.

Tabulka 1: Účast jednotlivých pracovišť v PrZZ (označení zkoušek dle části 1)

ID/zkouška	1	2	3	4	5	6	7	8	9
1460	-	-	-	-	-	X	-	-	-
1484	X	-	-	-	-	X	X	-	-
1807	X	-	-	-	-	-	-	-	-
1810	X	-	-	-	-	X	X	-	-
1827	X	X	-	-	-	X	X	-	-
1835	-	X	-	-	-	X	X	-	-
1844	X	X	-	-	-	X	X	-	-
1845	X	X	-	-	-	X	X	-	-
1846	X	X	-	-	-	X	X	-	-
1847	X	X	-	-	-	-	X	-	-

Tabulka 2: Seznam účastníků – pořadí v tabulce neodpovídá identifikačnímu číslu v tabulce 1

Subjekt	Adresa	Číslo AZL
CS-BETON s.r.o. Zkušební laboratoř	Velké Žernoseky 184, 412 01 Litoměřice	1500
ÉMI Építésügyi Minőségellenőrző Innovációs Nonprofit Kft., Anyagvizsgáló Egység	Hungary, 2000 Szentendre, Dózsa György út 26.	NAH-1-1110/2014
ÉMI Építésügyi Minőségellenőrző Innovációs Nonprofit Kft., Észak-és Keletmagyarországi Kirendeltség	Hungary, 2000 Szentendre, Dózsa György út 26.	NAH-1-1110/2014
ÉMI Építésügyi Minőségellenőrző Innovációs Nonprofit Kft., Nyugat-és Középdunántúli Kirendeltség Győr	Hungary, 2000 Szentendre, Dózsa György út 26.	NAH-1-1110/2014
ÉMI Építésügyi Minőségellenőrző Innovációs Nonprofit Kft., Nyugat-és Középdunántúli Kirendeltség Veszprém	Hungary, 2000 Szentendre, Dózsa György út 26.	NAH-1-1110/2014
Geo Measuring & Analysis nv	Industriepark Rosteyne 1, 9060 Zelzate	296-TEST
Geoinvest@cytanet.com.cy	Aglantzas Light Industrial Area, No. 10	L001
Magnel Laboratory for Concrete Reseach (University Ghent)	Technologiepark-Zwijnaarde 904; 9052 Zwijnaarde (Gent); Belgium	220-TEST
QUALIFORM SLOVAKIA s.r.o., Pracovisko 01 Bratislava	Pasienková 9 D, 821 06 Bratislava, Slovenská republika	S-301
Ústav stavebního zkušebnictví s.r.o.	Ústav stavebního zkušebnictví s.r.o., Jiřího Potůčka 115, 53009 Pardubice	1115

2 Postupy statistické analýzy experimentu shodnosti

K popisu přesnosti metod měření se využívá termínů správnost a shodnost. Správnost se týká těsnosti shody mezi aritmetickým průměrem velkého počtu výsledků zkoušek a pravou nebo přijatou referenční hodnotou. Shodnost se týká těsnosti shody mezi výsledky zkoušek. Nutnost uvažování shodnosti vzniká ze skutečnosti, že zkoušky, o nichž se předpokládá, že jsou provedeny na stejném materiálu za stejných podmínek, neposkytují obecně stejné výsledky. Příčinou jsou náhodné chyby, kterým se nelze vyhnout. Tyto chyby jsou nedílnou součástí každého zkušební postupu a nelze je nikdy v plném rozsahu ovládat. Analýza experimentu shodnosti není zaměřena na zkoumání správnosti výsledků zkoušek, ale především na jejich shodnost. Výsledky se tedy posuzují vzájemně mezi sebou a nikoli vzhledem k nějaké referenční nebo pravdivé hodnotě.

Základem statistické analýzy je kritické zhodnocení údajů podle ČSN EN 5725-2 [9], tedy zjištění a ošetření podezřelých a odlehlých hodnot a dalších nepravidelností. Toto zhodnocení se provádí prostřednictvím Mandelových

statistik (grafické zhodnocení) a především pomocí Grubbsových a Cochranových testů (numerické zhodnocení). Dalšími sledovanými statistickými parametry jsou mezilaboratorní rozptyl, rozptyl opakovatelnosti a reprodukovatelnosti a na ně navazující charakteristiky opakovatelnost a reprodukovatelnost. Výsledkem programu PrZZ je vyhodnocení výkonnosti zúčastněných laboratoří (účastníků) podle ČSN EN ISO/IEC 17043 [10], které se skládá z určení vztažných hodnot a jejich nejistot a následného porovnání s výsledky zkoušek účastníků PrZZ.

Předpokladem pro použití těchto metod je jednovrcholové rozdělení pravděpodobnosti naměřených dat. Dále označme p počet účastníků se laboratoří označených indexem $i = 1, \dots, p$, z nichž každá provedla n zkoušek.

2.1 Numerický postup zjišťování odlehlých hodnot

Ke zjišťování odlehlých hodnot se používají dva základní statistické testy. Prvním z nich je Cochranův test, který je testem vnitrolaboratorní variability (je-li počet měření jedné veličiny v jedné laboratoři > 2) a používá se jako první. Pokud tento test označí výsledky jedné z laboratoří jako odlehlé, musí se laboratoř vyloučit a test zopakovat. Druhý test (Grubbsův) je předně testem mezilaboratorní variability a lze ho rovněž použít, když Cochranův test vzbudí podezření, zda vysoké vnitrolaboratorní rozptýlení lze připsat na vrub pouze jednoho z výsledků zkoušek. Oba tyto testy předpokládají vyváženost experimentu, tedy mělo by platit, že počet zkoušek v jedné laboratoři pro stanovení jedné veličiny je konstantní.

Při zjišťování vybočujících nebo odlehlých hodnot mohou nastat tři případy:

- Je-li testová statistika menší než 5% kritická hodnota nebo je-li této hodnotě rovna, považuje se testovaná entita za správnou;
- Je-li testová statistika větší než 5% kritická hodnota a menší než 1% kritická hodnota nebo je-li této hodnotě rovna, nazve se testovaná entita **vybočující**;
- Je-li testová statistika větší než 1% kritická hodnota, nazve se testovaná entita **odlehlou** hodnotou.

2.1.1 Cochranův test

Cochranova statistika C je dána vztahem

$$C = \frac{s_{max}^2}{\sum_{i=1}^p s_i^2} \quad (1)$$

kde s_{max} je největší výběrová směrodatná odchylka, s_i jsou výběrové směrodatné odchylky stanovené na základě výsledků ve všech laboratořích a p je počet účastníků se laboratoří v experimentu.

Výběrová směrodatná odchylka se stanovuje ze vztahu

$$s_i = \sqrt{\frac{1}{n_i - 1} \sum_{k=1}^{n_i} (y_k - \bar{y})^2}, \quad (2)$$

kde n_i je počet výsledků zkoušek stanovení jedné veličiny v i -té laboratoři, y_k je k -tá hodnota a \bar{y} je aritmetický průměr hodnot změřených v i -té laboratoři. Jsou-li pro sledovanou veličinu naměřeny pouze dva výsledky, je možné použít zjednodušeného vztahu

$$s_i = \frac{|y_1 - y_2|}{\sqrt{2}}. \quad (3)$$

2.1.2 Grubbsův test – jedno odlehlé pozorování

Z dané množiny údajů x_i pro $i = 1, 2, \dots, p$, uspořádané vzestupně podle velikosti, se pro určení použitím Grubbsova testu, zda je největší pozorování odlehlou hodnotou, vypočte Grubbsova statistika G_p

$$G_p = \frac{x_p - \bar{x}}{s}, \quad (4)$$

přičemž \bar{x} je aritmetický průměr sledovaného znaku. Sledovaným znakem může být průměrná hodnota určované veličiny v rámci laboratoře. Dále je s výběrová směrodatná odchylka sledovaného znaku, tedy v tomto případě směrodatná odchylka počítána přes všechny laboratoře.

Pro test významnosti nejmenšího pozorování se vypočte testová statistika

$$G_p = \frac{\bar{x} - x_p}{s}. \quad (5)$$

2.2 Mandelovy statistiky

Pro zjišťování konzistence dat se použily dvě míry, nazývané Mandelovy statistiky h a k . Běžně se tyto míry používají pro grafické hodnocení laboratoří podobně jako popis variability.

2.2.1 Mezilaboratorní statistika konzistence h

Pro každou laboratoř se vyhodnotila mezilaboratorní statistika konzistence h podle vzorce

$$h_i = \frac{\bar{y}_i - \bar{\bar{y}}}{\sqrt{\frac{1}{p-1} \sum_{i=1}^p (\bar{y}_i - \bar{\bar{y}})^2}}. \quad (6)$$

2.2.2 Vnitrolaboratorní statistika konzistence k

Vnitrolaboratorní statistika konzistence k se vypočítá podle vztahu

$$k_i = \frac{s_i \sqrt{p}}{\sqrt{\sum_{i=1}^p s_i^2}}. \quad (7)$$

kde s_i je výběrová směrodatná odchylka hodnot naměřených v i -té laboratoři. Stejně jako statistika h se hodnoty k vynášejí do grafů. Prohlídka grafů hodnot h a k může naznačovat, že u určitých laboratoří se ukazuje podstatně odlišné uspořádání výsledků než u ostatních studovaných laboratoří. Je to důsledkem trvale velkého a/nebo malého rozptylu výsledků nebo extrémních průměrů výsledků napříč úrovněmi.

2.3 Výpočet odhadů rozptylů

Po vyřazení odlehklých hodnot (laboratoří) je možné přikročit k výpočtu základních charakteristik variability, a to rozptylu opakovatelnosti, mezilaboratorního rozptylu a rozptylu reprodukovatelnosti. Tyto charakteristiky se uvádějí ve formě směrodatných odchylek, tedy po odmocnění. Výhodou je stejný fyzikální rozměr charakteristiky variability a sledované veličiny.

2.3.1 Rozptyl opakovatelnosti

$$s_r^2 = \frac{\sum_{i=1}^p (n_i - 1) s_i^2}{\sum_{i=1}^p (n_i - 1)} \quad (8)$$

2.3.2 Mezilaboratorní rozptyl

$$s_L^2 = \frac{s_d^2 - s_r^2}{\bar{n}}, \quad (9)$$

kde

$$s_d^2 = \frac{1}{p-1} \sum_{i=1}^p n_i (\bar{y}_i - \bar{\bar{y}})^2 \quad (10)$$

a

$$\bar{n} = \frac{1}{p-1} \left[\sum_{i=1}^p n_i - \frac{\sum_{i=1}^p n_i^2}{\sum_{i=1}^p n_i} \right]. \quad (11)$$

2.3.3 Rozptyl reprodukovatelnosti

$$s_R^2 = s_r^2 + s_L^2, \quad (12)$$

kde s_r^2 je rozptyl opakovatelnosti a s_L^2 je mezilaboratorní rozptyl.

2.4 Opakovatelnost a reprodukovatelnost

Opakovatelnost vyjadřuje, že rozdíl mezi dvěma výsledky zkoušek z téhož vzorku, provedených stejným pracovníkem, na tomtéž zařízení, v nejkratším možném časovém intervalu nebude překračovat hodnotu opakovatelnosti r v průměru ne více než jednou ve 20 případech při běžném a správném provádění metody.

Hodnota opakovatelnosti je vyjádřena vztahem

$$r = 2,8s_r, \quad (13)$$

kde $s_r = \sqrt{s_r^2}$ je směrodatná odchylka opakovatelnosti.

Reprodukovatelnost vyjadřuje, že výsledky zkoušek na tomtéž vzorku, získané v nejkratším možném časovém intervalu dvěma pracovníky, kteří použili každý své zařízení, se nebudou lišit hodnotou reprodukovatelnosti R v průměru ne více než jednou ve 20 případech při běžném a správném provádění metody.

Hodnota reprodukovatelnosti je vyjádřena vztahem

$$R = 2,8s_R, \quad (14)$$

kde $s_R = \sqrt{s_R^2}$ je směrodatná odchylka reprodukovatelnosti.

2.5 Vztažná hodnota

PoZZ zajistí stanovení vztažné hodnoty X a její nejistoty pro každý PrZZ. Vztažné hodnoty jsou vždy účastníkům PrZZ sdělovány až po dodání výsledků PrZZ a to tak, aby účastníci nemohli získat žádnou výhodu z jejich předčasného zveřejnění.

Vztažné hodnoty PoZZ stanovuje jako konsenzuální hodnotu účastníků podle přílohy B normy ČSN EN ISO/IEC 17043 [10] za použití statistických metod popsanych v ISO 13528 [11] a ČSN ISO 5725-5 [12]. Vztažná hodnota X je tedy určena jako robustní odhad hodnoty průměru x^* (**Algoritmus A** uvedený v [11] a [12]).

Vypočtou se počáteční hodnoty x^* a s^* (robustní směrodatná odchylka) jako

$$x^* = \text{medián } x_i, \quad (15)$$

$$s^* = 1,483 \cdot \text{medián } |x_i - x^*|, \quad (16)$$

kde $i = 1, \dots, p$. Hodnoty x^* a s^* se upraví následovně. Vypočte se $\varphi = 1,5 \cdot s^*$. Pro každou hodnotu x_i se vypočte

$$x_i^* = \begin{cases} x^* - \varphi & \text{jestliže } x_i < x^* - \varphi, \\ x^* + \varphi & \text{jestliže } x_i > x^* + \varphi, \\ x_i & \text{v ostatních případech.} \end{cases} \quad (17)$$

Vypočtou se nové hodnoty x^* a s^* ze vztahu

$$x^* = \sum_{i=1}^p \frac{x_i^*}{p}, \quad (18)$$

a

$$s^* = 1,134 \cdot \sqrt{\sum_{i=1}^p \frac{(x_i^* - x^*)^2}{p-1}}. \quad (19)$$

Robustní odhady se odvozují iterací, dokud nejsou změny odhadů od jednoho výpočtu k dalšímu malé. Standardní nejistota u_X takto stanovené vztažné hodnoty se určuje podle vztahu

$$u_X = 1,25 \frac{s^*}{\sqrt{p}}. \quad (20)$$

V případě malého počtu účastníků PrZZ stanovuje PoZZ vztažné hodnoty jako konsenzuální hodnoty získané od expertních účastníků, kteří prokázali kompetenci ke stanovení měřené veličiny, která je předmětem zkoušky.

Při nízkém počtu účastníků ($4 \leq p \leq 20$) může PoZZ dále zvážit využití tzv. **Hornova postupu** pro stanovení vztažných hodnot. Tento postup spočívá ve stanovení tzv. pivotů, na jejichž základě se určí odhad polohy a variability. Nejdříve se provede vzestupné seřazení posuzovaných dat. Dolní pivot se poté určí ze vztahu

$$x_D = x_{(H)}, \quad (21)$$

kde H je pořadový index daný rovnicí $H = \frac{\text{int}(\frac{p+1}{2})}{2}$ nebo $H = \frac{\text{int}(\frac{p+1}{2}+1)}{2}$.
Horní pivot se poté určí ze vztahu

$$x_H = x_{p+1-H}. \quad (22)$$

Vztažná hodnota je prostřednictvím Hornova postupu určena jako odhad polohy, tedy tzv. pivotová polosuma

$$x^* = \frac{x_D + x_H}{2}. \quad (23)$$

Odhad variability se stanovuje jako tzv. pivotové rozpětí

$$R_L = x_H - x_D \quad (24)$$

a nejistota takto určené vztažné hodnoty jako 95% intervalový odhad střední hodnoty

$$u_X = R_L t_{L;0,95}(p), \quad (25)$$

kde $t_{L;0,95}(p)$ je $(1 - \alpha)$ kvantil rozdělení T_L s p stupni volnosti.

2.6 Výpočet statistik výkonnosti

Výsledky zkoušek se musí pro interpretaci a porovnání se stanovenými cíli převést na tzv. výkonnostní statistiky. Účelem je vyjádřit odchylku od vztažné hodnoty takovým způsobem, který umožňuje porovnání s kritérii výkonnosti. Podle normy ČSN EN ISO/IEC 17043 [10] se výkonnost účastníků se pracovišť hodnotí podle tzv. z-score a ζ -score (zeta-score).

Pro každou neodlehlou laboratoř se z-score vypočte podle vztahu

$$z_i = \frac{|\bar{x}_i - x^*|}{s^*}. \quad (26)$$

ζ -score (zeta-score) se vypočítá pomocí rovnice

$$\zeta_i = \frac{|\bar{x}_i - x^*|}{\sqrt{u_i^2 + u_X^2}}, \quad (27)$$

kde u_i je standardní kombinovaná nejistota i -té laboratoře. Standardní kombinované nejistoty měření lze získat podělením rozšířené nejistoty U koeficientem rozšíření k , který má pro normální rozdělení pravděpodobnosti hodnotu $k = 2$. Pokud účastník neuvedl rozšířenou nejistotu měření na záznamovém listu výsledků zkoušek, není možné ζ -score určit. Více o nejistotách měření lze nalézt v dokumentu [13].

Pro z-score a ζ -score (pro jednoduchost je uvedeno pouze z-score) platí následující stupnice:

$$z\text{-score} = \begin{cases} |z| \leq 2 & \text{ukazuje, že výkonnost laboratoře je } \mathbf{vyhovující}, \\ 2 \leq |z| \leq 3 & \text{ukazuje, že výkonnost laboratoře je } \mathbf{problematická} \text{ a vytváří varovný podnět,} \\ 3 \leq |z| & \text{ukazuje, že výkonnost laboratoře je } \mathbf{nevyhovující} \text{ a vytváří podnět k akci.} \end{cases} \quad (28)$$

3 Závěry statistické analýzy

Předložená zpráva shrnuje výsledky programu zkoušení způsobilosti ZZP 2017/1 (PrZZ) pořádaného Poskytovatelem zkoušení způsobilosti při SZK FAST. PrZZ se zúčastnilo celkem 10 pracovišť. Program byl zaměřen na běžné normalizované zkoušky zdicích prvků. Výsledky zkoušek jsou hodnoceny samostatně pro každý sledovaný zkušební postup. Vyhodnocené statistické charakteristiky, výsledky testů a grafické znázornění jsou součástí přílohy této zprávy.

Nejdůležitějším výstupem PrZZ jsou tzv. z -score a ζ -score (zeta-score). Tyto charakteristiky hodnotí výkonnost jednotlivých účastníků porovnáním se vztažnou hodnotou a nejistotami měření. Vztažná hodnota a její nejistota byla určena podle postupů uvedených v 2.6. z -score a ζ -score jsou porovnány s limitními hodnotami (viz část 2.6). Výsledné hodnoty ζ -score nejsou brány v potaz při výsledném vyhodnocení výkonnosti účastníků, neboť jsou do značné míry závislé na hodnotách nejistot měření.

3.1 ČSN EN 772-1 (Pevnost v tlaku)

Výsledky zkoušek společně s grafickým znázorněním a vyhodnocenými statistickými charakteristikami jsou uvedeny v části 1 přílohy.

Numerické kritické zhodnocení výsledků zkoušek Grubbsovým testem ukázalo překročení 5% kritické hodnoty účastníka č. 1810. Toto překročení však ještě není důvod k vyřazení účastníka pro odlehlost.

Grafické zjištění konzistence laboratoří (Mandelovy statistiky) ukázalo několik překročení kritických hodnot statistik konzistence (viz příloha). Překročení kritických hodnot Mandelových statistik nenaznačuje, že výsledky laboratoří jsou špatné. Pouze poukazuje na drobné nesrovnalosti. Žádný z účastníků tedy nebyl z experimentu vyřazen.

Vztažná hodnota a její nejistota byla stanovena na základě algoritmu A (ISO 13258 [11]). K překročení limitní hodnoty z -score = 3 došlo v případě účastníka č. **1810**. Výkonnost tohoto účastníka je tedy označena jako **nevyhovující**. Výsledky všech ostatních účastníků nepřekročily limitní hodnotu z -score = 2 a proto lze jejich výkonnost označit jako **vyhovující**.

3.2 ČSN EN 772-3 (Skutečný a poměrný objem otvorů)

Výsledky zkoušek společně s grafickým znázorněním a vyhodnocenými statistickými charakteristikami jsou uvedeny v části 2 přílohy.

Numerické kritické zhodnocení údajů Grubbsovým testem ukázalo překročení 1% kritické hodnoty v případě účastníka č. **1827**. Výsledky zkoušek tohoto účastníka byly označeny jako **odlehlé** a z experimentu vyřazeny. Po vyloučení tohoto účastníka již k překonání kritických hodnot nedošlo.

Numerické kritické zhodnocení výsledků zkoušek Cochranovým testem ukázalo překročení 1% kritické hodnoty účastníka č. 1846. Bližší analýza ukázala, že toto překročení má za následek pouze jeden výsledek zkoušky, po jehož vyřazení již kritické hodnoty překonány nebyly. Účastník č. 1846 tedy nebyl z experimentu vyřazen.

Grafické zjištění konzistence laboratoří (Mandelovy statistiky) ukázalo několik překročení kritických hodnot statistik konzistence (viz příloha). Překročení kritických hodnot Mandelových statistik nenaznačuje, že výsledky laboratoří jsou špatné. Pouze poukazuje na drobné nesrovnalosti.

Vztažná hodnota a její nejistota byla stanovena na základě algoritmu A (ISO 13258 [11]). K překročení limitní hodnoty z -score = 2 došlo v případě účastníka č. **1846**. Výkonnost tohoto účastníka je tedy označena jako **problematická**. Výsledky všech ostatních účastníků nepřekročily limitní hodnotu z -score = 2 a proto lze jejich výkonnost označit jako **vyhovující**.

3.3 ČSN EN 772-6 (Pevnost v tahu za ohybu)

Zkouška neotevřena pro nízký počet účastníků.

3.4 ČSN EN 772-7 (Nasákavost varem)

Zkouška neotevřena pro nízký počet účastníků.

3.5 ČSN EN 772-10 (Vlhkost)

Zkouška neotevřena pro nízký počet účastníků.

3.6 ČSN EN 772-11 (Nasákavost)

Výsledky zkoušek společně s grafickým znázorněním a vyhodnocenými statistickými charakteristikami jsou uvedeny v části 6 přílohy. Numerické kritické zhodnocení výsledků zkoušek Cochranovým a Grubbsovým testem neukázalo překročení žádné kritické hodnoty.

Grafické zjištění konzistence laboratoří (Mandelovy statistiky) ukázalo překročení kritických hodnot statistik konzistence (viz příloha). Překročení kritických hodnot Mandelových statistik nenaznačuje, že výsledky laboratoří jsou špatné. Pouze poukazuje na drobné nesrovnalosti. Žádný další z účastníků tedy nebyl z experimentu vyřazen.

Vztažná hodnota a její nejistota byla stanovena na základě algoritmu A (ISO 13258 [11]). K překročení limitní hodnoty $z\text{-score} = 3$ došlo v případě účastníka č. **1460**. Výkonnost tohoto účastníka je tedy označena jako **nevyhovující**. K překročení limitní hodnoty $z\text{-score} = 2$ došlo v případě účastníka č. **1844**. Výkonnost tohoto účastníka je tedy označena jako **problematická**. Výsledky všech ostatních účastníků nepřekročily limitní hodnotu $z\text{-score} = 2$ a proto lze jejich výkonnost označit jako **vyhovující**.

3.7 ČSN EN 772-13 (Objemová hmotnost)

Výsledky zkoušek společně s grafickým znázorněním a vyhodnocenými statistickými charakteristikami jsou uvedeny v části 7 přílohy.

Numerické kritické zhodnocení údajů Grubbsovým testem ukázalo překročení 1% kritické hodnoty v případě účastníka č. **1484**. Výsledky zkoušek tohoto účastníka byly označeny jako **odlehlé** a z experimentu vyřazeny. Po vyloučení tohoto účastníka již k překonání kritických hodnot nedošlo.

Vztažná hodnota a její nejistota byla stanovena na základě algoritmu A (ISO 13258 [11]). Výsledky všech účastníků nepřekročily limitní hodnotu $z\text{-score} = 2$ a proto lze jejich výkonnost označit jako **vyhovující**.

3.8 ČSN EN 15435, čl. 4.9.3, Příloha B (Pevnost bočnic v ohybu)

Zkouška neotevřena pro nízký počet účastníků.

3.9 ČSN EN 15435, čl. 5.2 (Objemová hmotnost)

Zkouška neotevřena pro nízký počet účastníků.

Odkazy

- [1] ČSN EN 772-1. *Zkušební metody pro zdicí prvky - Část 1: Stanovení pevnosti v tlaku*. 2016.
- [2] ČSN EN 772-3. *Zkušební metody pro zdicí prvky - Část 3: Stanovení skutečného a poměrného objemu otvorů v pálených zdicích prvcích hydrostatickým vážením*. 1999.
- [3] ČSN EN 772-6. *Zkušební metody pro zdicí prvky - Část 6: Stanovení pevnosti v tahu za ohybu betonových tvárnic*. 2002.
- [4] ČSN EN 772-7. *Zkušební metody pro zdicí prvky - Část 7: Stanovení nasákavosti varem pálených zdicích prvků pro izolační vrstvy proti vlhkosti*. 1999.
- [5] ČSN EN 772-10. *Zkušební metody pro zdicí prvky - Část 10: Stanovení vlhkosti vápenopískových zdicích prvků a pórobetonových tvárnic*. 1999.
- [6] ČSN EN 772-11. *Zkušební metody pro zdicí prvky - Část 11: Stanovení nasákavosti betonových tvárnic a zdicích prvků z umělého a přírodního kamene vlivem kapilarity a počáteční rychlosti nasákavosti pálených zdicích prvků*. 2011.
- [7] ČSN EN 772-13. *Zkušební metody pro zdicí prvky - Část 13: Stanovení objemové hmotnosti materiálu zdicích prvků za sucha a objemové hmotnosti zdicích prvků za sucha (kromě zdicích prvků z přírodního kamene)*. 2001.
- [8] ČSN EN 15435. *Betonové prefabrikáty - Bednicí tvárnice z obvyčejného a lehkého betonu - Vlastnosti výrobku*. 2009.
- [9] ČSN ISO 5725-2. *Přesnost (správnost a shodnost) metod a výsledků měření – Část 1: Základní metoda pro stanovení opakovatelnosti a reprodukovatelnosti normalizované metody měření*. 1997.
- [10] ČSN EN ISO/IEC 17043. *Posuzování shody - Všeobecné požadavky na zkoušení způsobilosti*. 2010.
- [11] ISO 13 528. *Statistical methods for use in proficiency testing by interlaboratory comparisons*. 2005.
- [12] ČSN ISO 5725-5. *Přesnost (správnost a shodnost) metod a výsledků měření – Část 5: Alternativní metody pro stanovení shodnosti normalizované metody měření*. 1999.
- [13] EA 4/02. *Vyjadřování nejistot měření při kalibracích*. 2000.

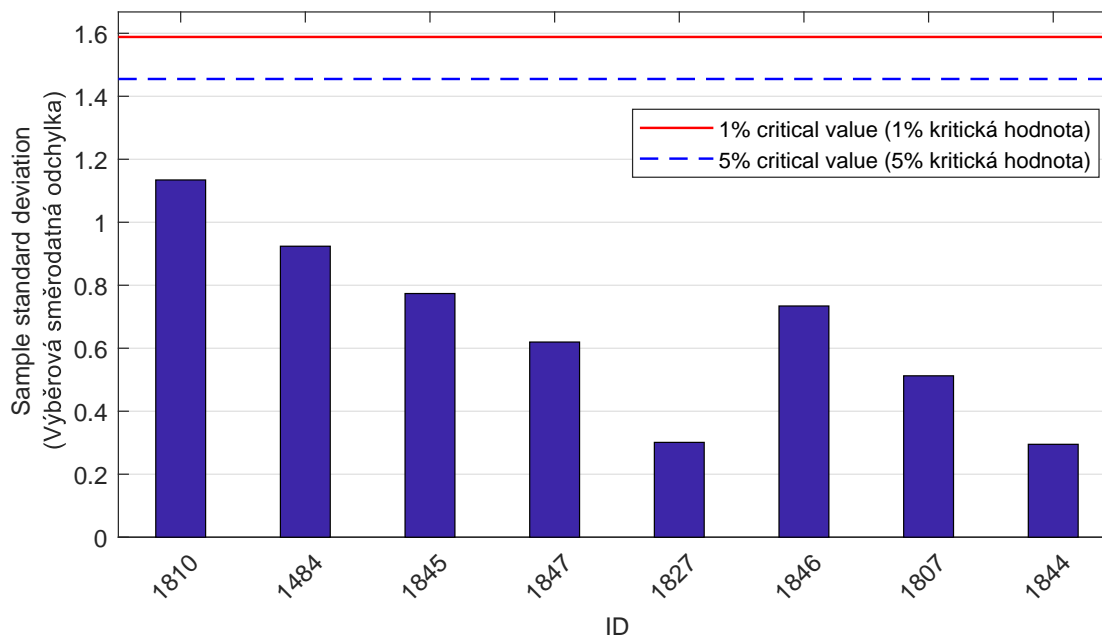
1 Příloha – ČSN EN 772-1 (Pevnost v tlaku)

1.1 Výsledky zkoušek

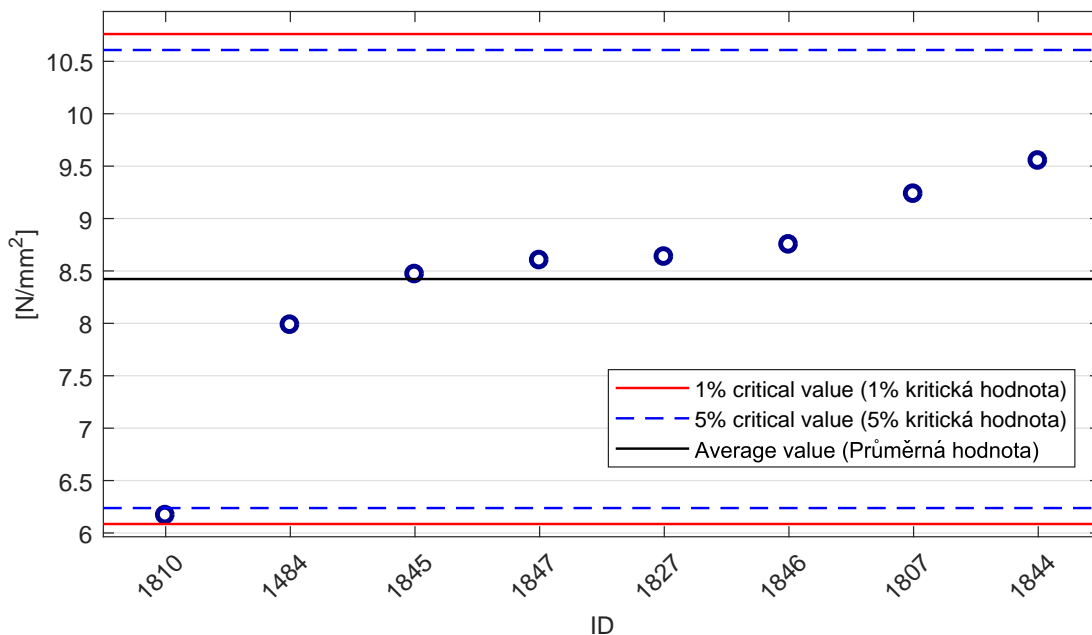
Tabulka 3: Výsledky zkoušek - seřazené podle průměrné hodnoty. Odlehlé hodnoty jsou vyznačeny hvězdičkou. u_X - rozšířená nejistota účastníka; \bar{x} - aritmetický průměr; s_0 - výběrová směrodatná odchylka; V_X - variační koeficient

ID účastníka	Výsledky zkoušek [N/mm ²]							u_X	\bar{x}	s_0	V_X
								[N/mm ²]	[N/mm ²]	[N/mm ²]	[%]
1810	6.3	8.2	5.4	5.5	6.5	5.1	-	6.2	1.1	18.39	
1484	8.7	8.4	6.6	8.2	7.1	8.9	0.4	8.0	0.9	11.57	
1845	9.4	8.0	8.5	8.8	7.2	8.9	0.3	8.5	0.8	9.14	
1847	8.0	8.7	9.3	7.7	9.0	8.9	0.6	8.6	0.6	7.21	
1827	8.4	8.6	8.5	8.7	8.4	9.2	0.3	8.6	0.3	3.49	
1846	9.9	8.5	8.0	9.0	8.0	9.1	0.7	8.8	0.7	8.39	
1807	9.1	9.3	9.8	8.9	8.5	9.8	0.4	9.2	0.5	5.55	
1844	9.4	9.4	9.5	10.0	9.8	9.2	0.3	9.5	0.3	3.09	

1.2 Numerické zhodnocení odlehlých hodnot

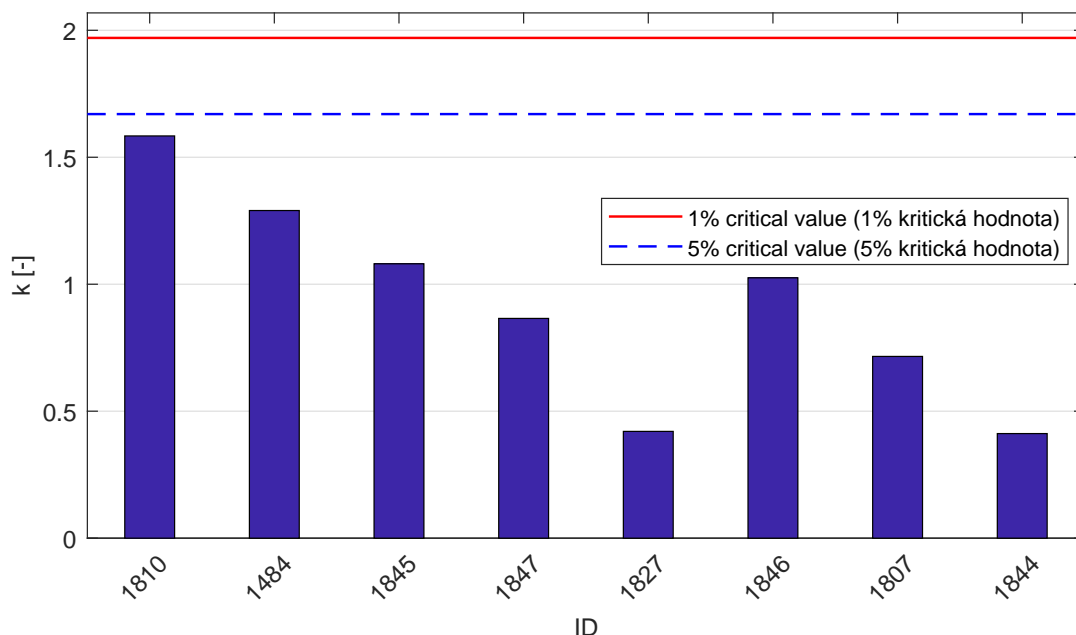


Obrázek 1: **Cochranův test** - graf výběrových směrodatných odchylek: 1% kritická hodnota - červená barva; 5% kritická hodnota - modrá barva

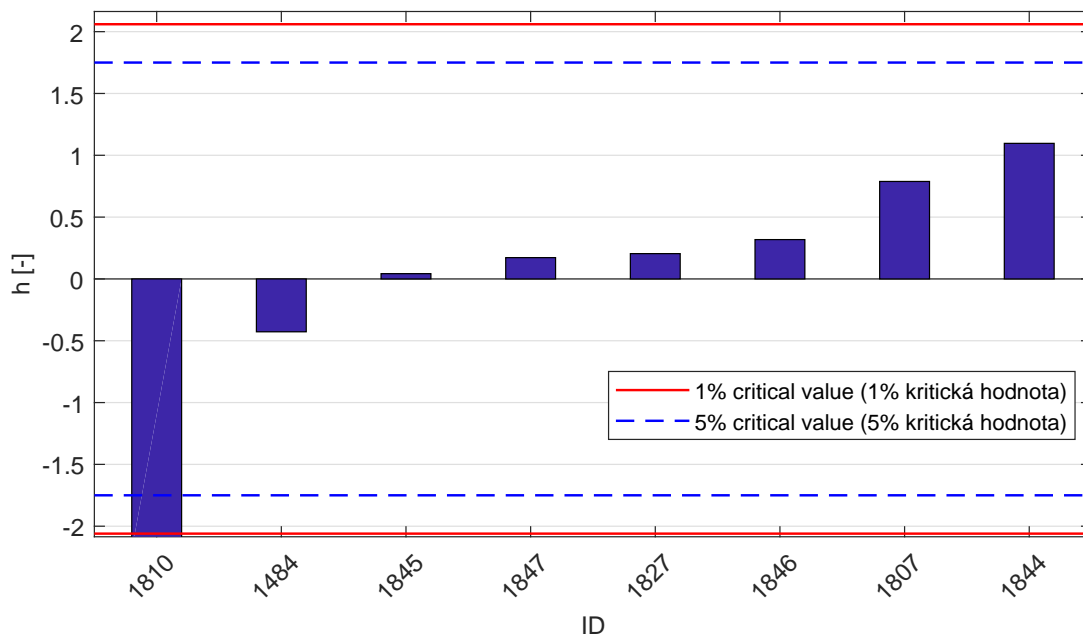


Obrázek 2: **Grubbsův test** - graf průměrných hodnot: 1% kritická hodnota - červená barva; 5% kritická hodnota - modrá barva

1.3 Mandelovy statistiky konzistence

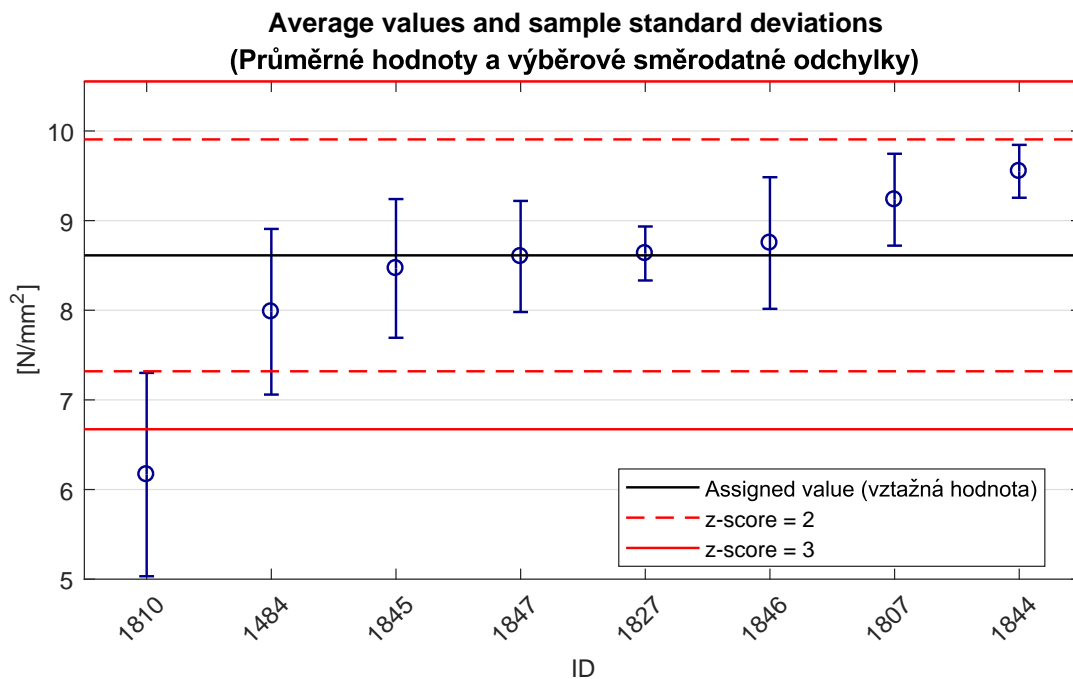


Obrázek 3: Vnitrolaboratorní statistika konzistence: 1% kritická hodnota - červená barva; 5% kritická hodnota - modrá barva

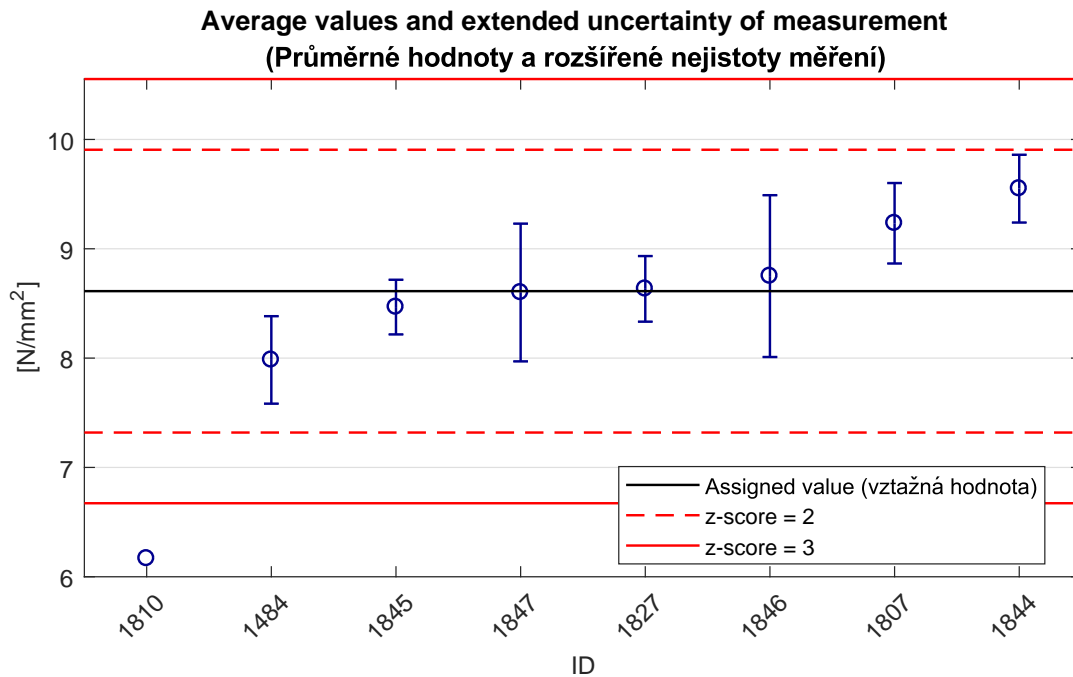


Obrázek 4: Mezilaboratorní statistika konzistence: 1% kritická hodnota - červená barva; 5% kritická hodnota - modrá barva

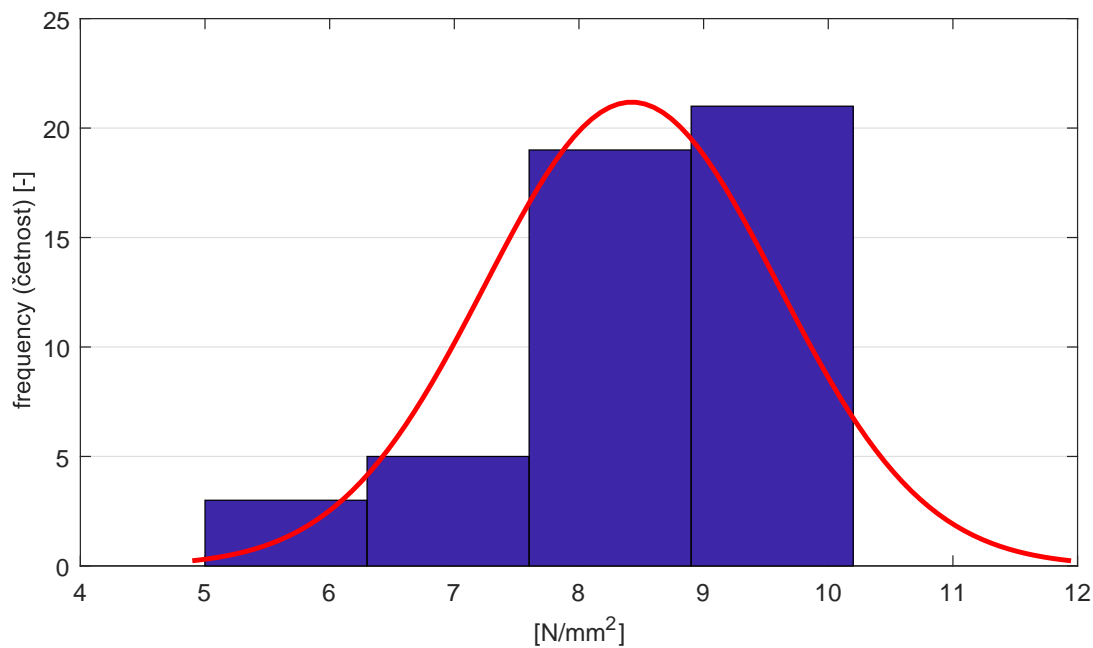
1.4 Vyhodnocení výkonnosti účastníků



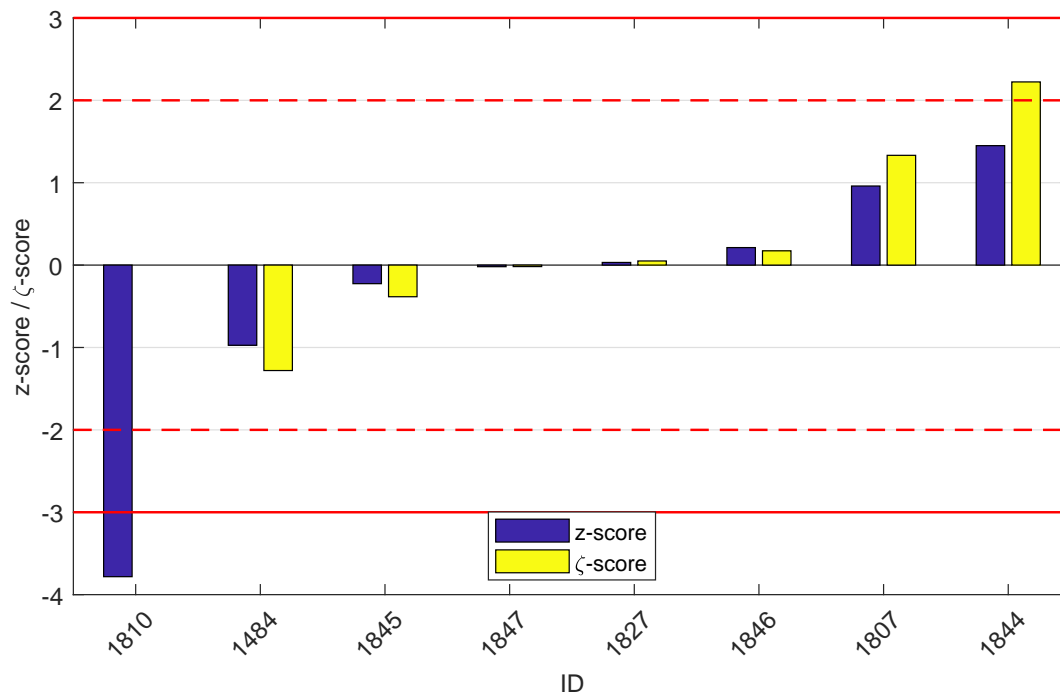
Obrázek 5: Graf průměrných hodnot výsledků zkoušek a výběrových směrodatných odchylek



Obrázek 6: Graf průměrných hodnot výsledků zkoušek a rozšířených nejistot měření



Obrázek 7: Histogram všech výsledků zkoušek



Obrázek 8: z-score a ζ-score

Tabulka 4: Výsledné hodnoty z-score a ζ-score

ID	z-score [-]	ζ-score [-]
1810	-3.78	-
1484	-0.97	-1.28
1845	-0.23	-0.38
1847	-0.02	-0.02
1827	0.03	0.05
1846	0.21	0.17
1807	0.96	1.33
1844	1.45	2.22

2 Příloha – ČSN EN 772-3 (Skutečný a poměrný objem otvorů)

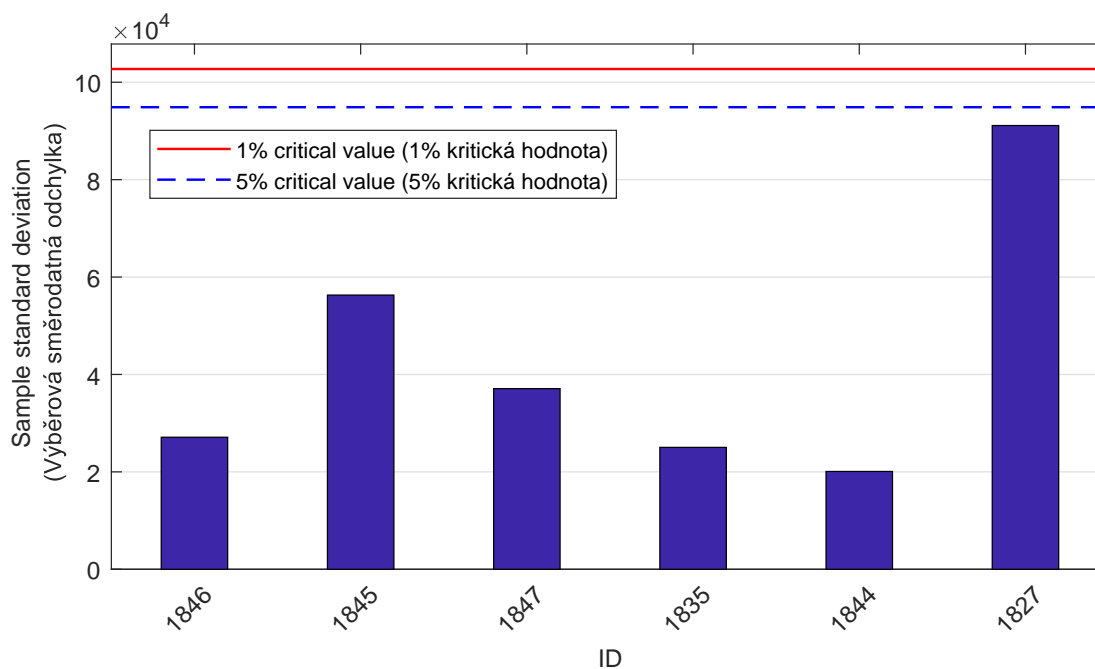
2.1 Skutečný objem otvorů

2.1.1 Výsledky zkoušek

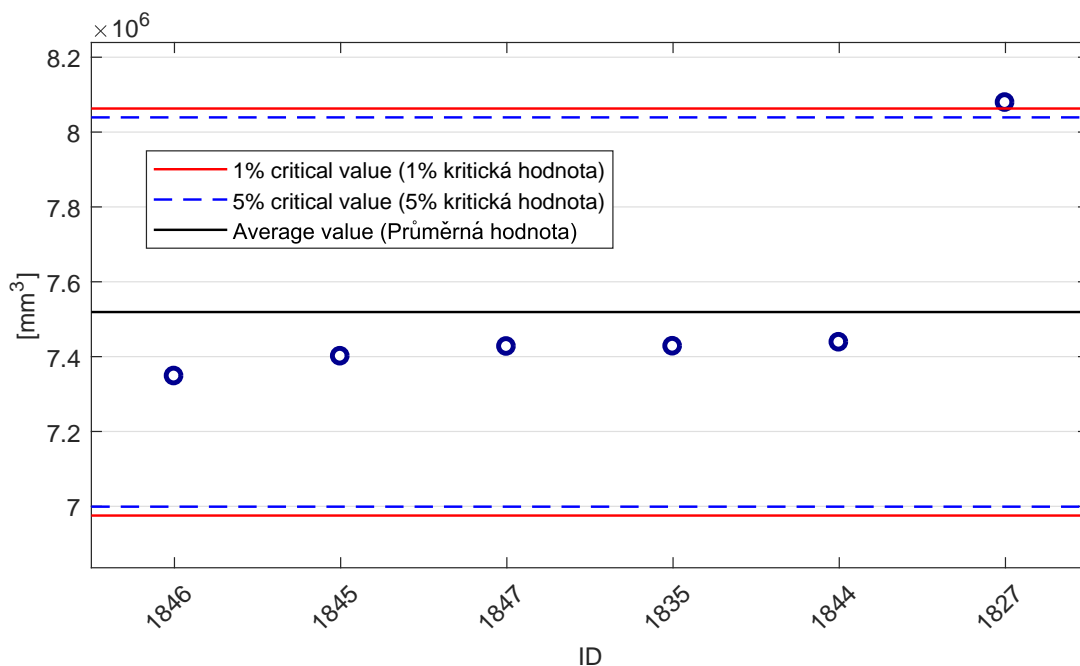
Tabulka 5: Výsledky zkoušek - seřazené podle průměrné hodnoty. Odlehlé hodnoty jsou vyznačeny hvězdičkou. u_X - rozšířená nejistota účastníka; \bar{x} - aritmetický průměr; s_0 - výběrová směrodatná odchylka; V_X - variační koeficient

ID	Výsledky zkoušek [mm ³]						u_X [mm ³]	\bar{x} [mm ³]	s_0 [mm ³]	V_X [%]
1846	7347600	7366200	7381400	7353600	7305500	7328100	11069	7347067	27112	0.37
1845	7400000	7356000	7507000	7358000	7374000	7405000	22989	7400000	56303	0.76
1847	7451000	7414000	7387000	7384000	7476000	7444000	16814	7426000	37089	0.50
1835	7440000	7450000	7430000	7380000	7420000	7440000	-	7426667	25033	0.34
1844	7442000	7459000	7442000	7415000	7455000	7411000	8278	7437333	20086	0.27
1827*	8213909*	8107342*	8055334*	8110242*	8040531*	7939373*	210022*	8077789*	91112*	1.13*

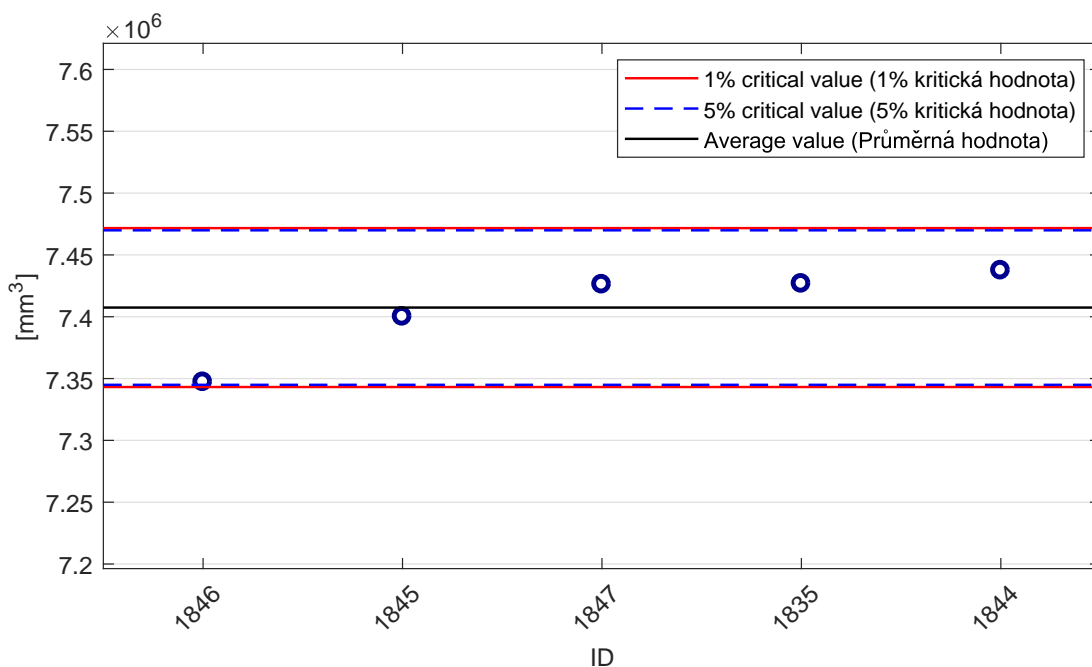
2.1.2 Numerické zhodnocení odlehlých hodnot



Obrázek 9: **Cochranův test** - graf výběrových směrodatných odchylek: 1% kritická hodnota - červená barva; 5% kritická hodnota - modrá barva

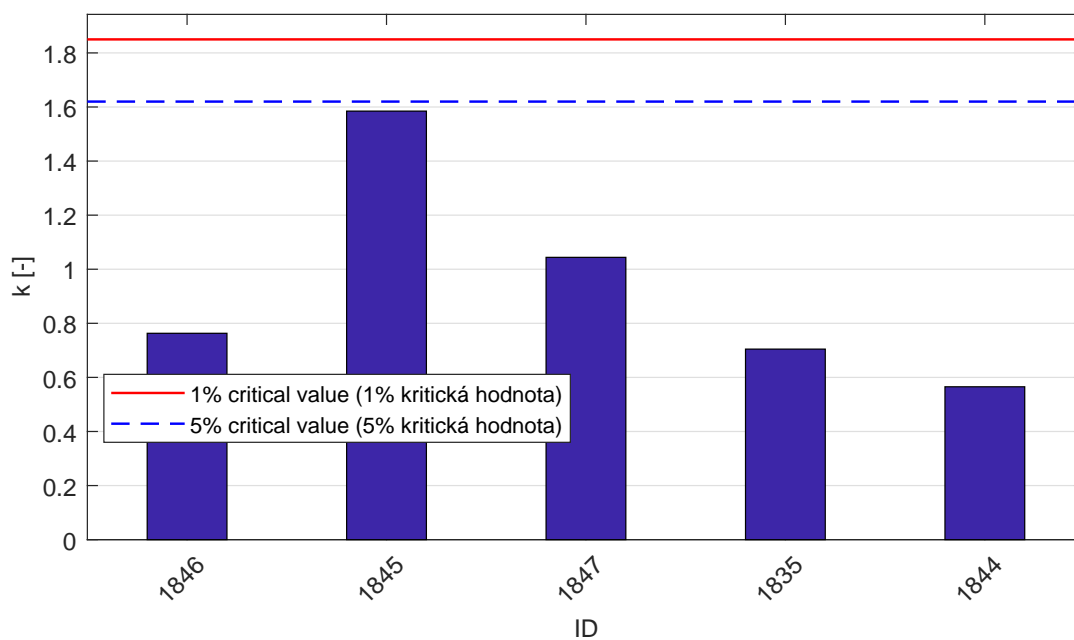


Obrázek 10: **Grubbsův test** - graf průměrných hodnot: 1% kritická hodnota - červená barva; 5% kritická hodnota - modrá barva

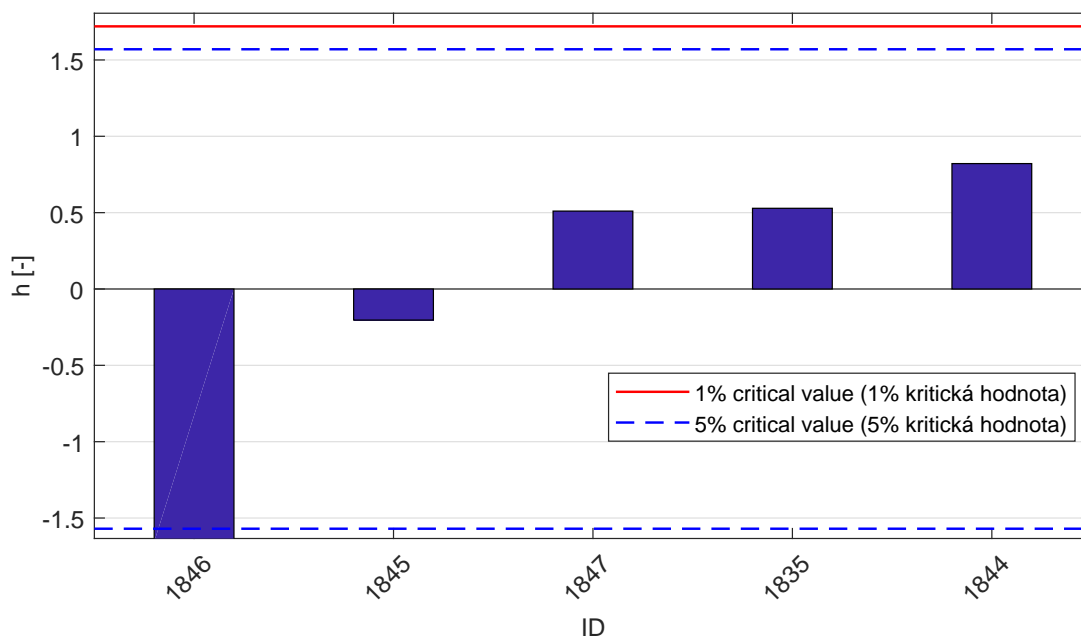


Obrázek 11: **Grubbsův test** - graf průměrných hodnot po vyřazení odlehlých hodnot: 1% kritická hodnota - červená barva; 5% kritická hodnota - modrá barva

2.1.3 Mandelovy statistiky konzistence

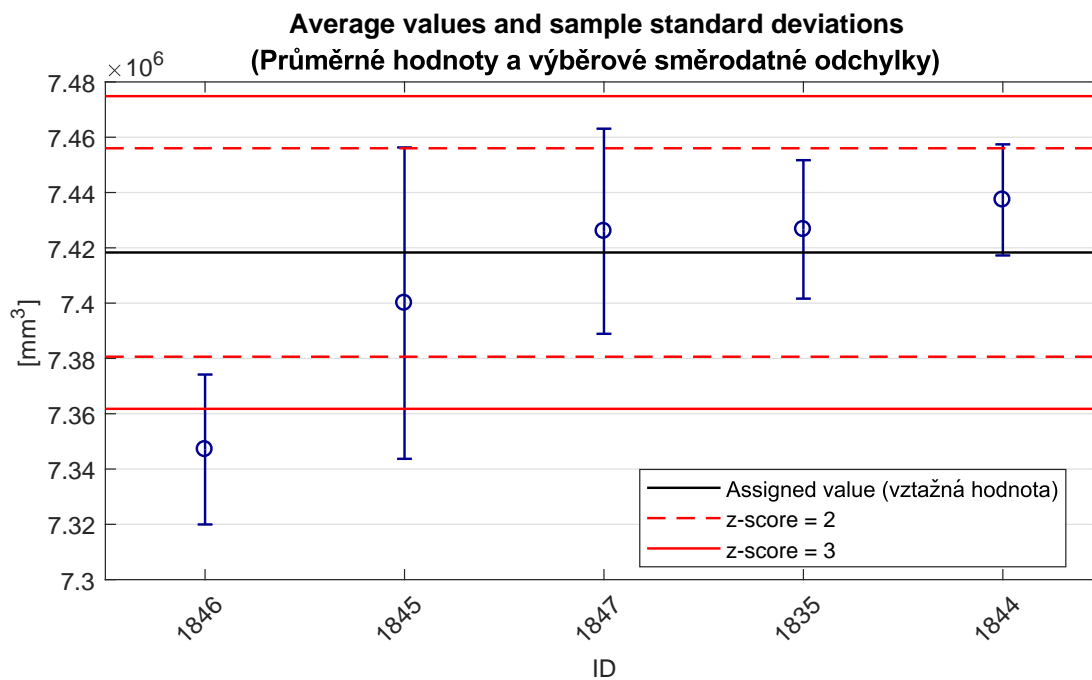


Obrázek 12: Vnitrolaboratorní statistika konzistence: 1% kritická hodnota - červená barva; 5% kritická hodnota - modrá barva

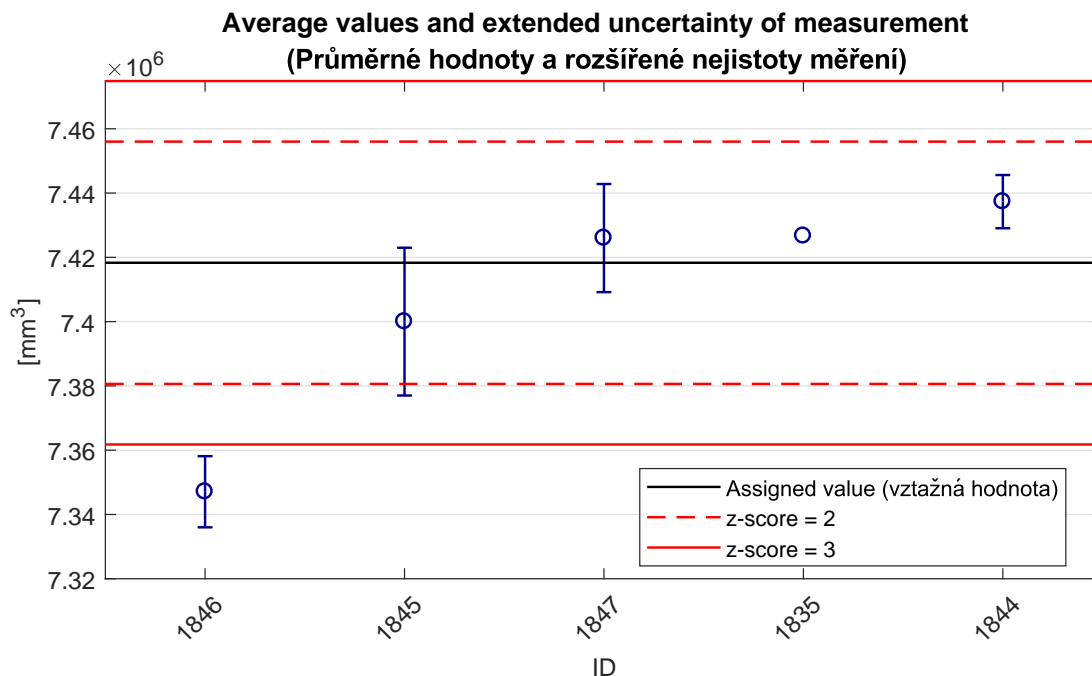


Obrázek 13: Mezilaboratorní statistika konzistence: 1% kritická hodnota - červená barva; 5% kritická hodnota - modrá barva

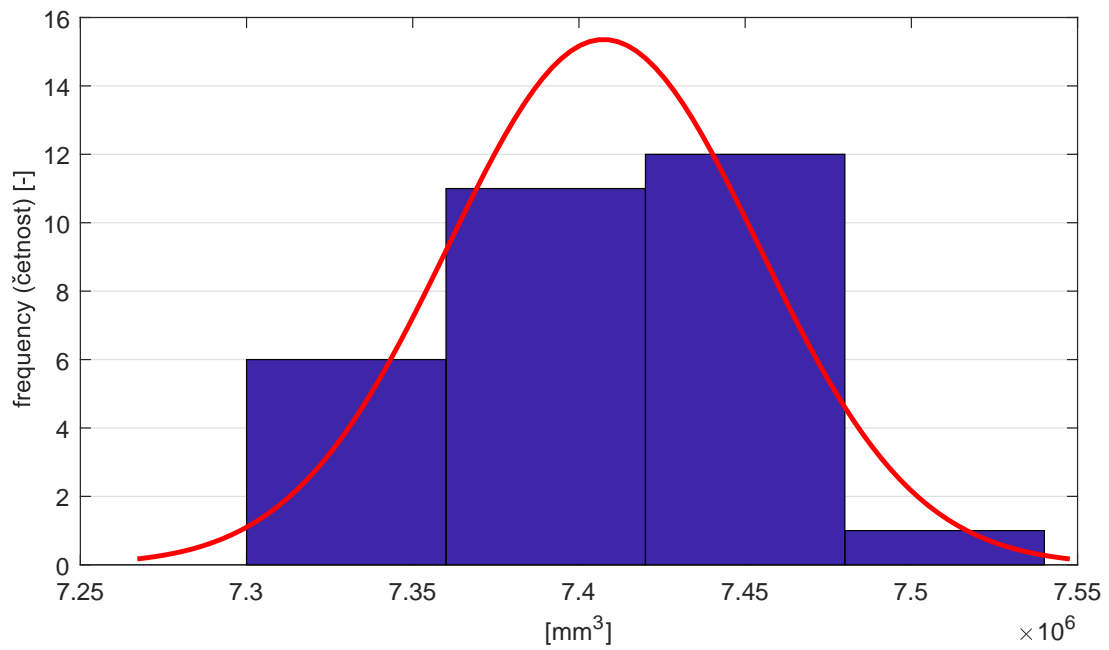
2.1.4 Vyhodnocení výkonnosti účastníků



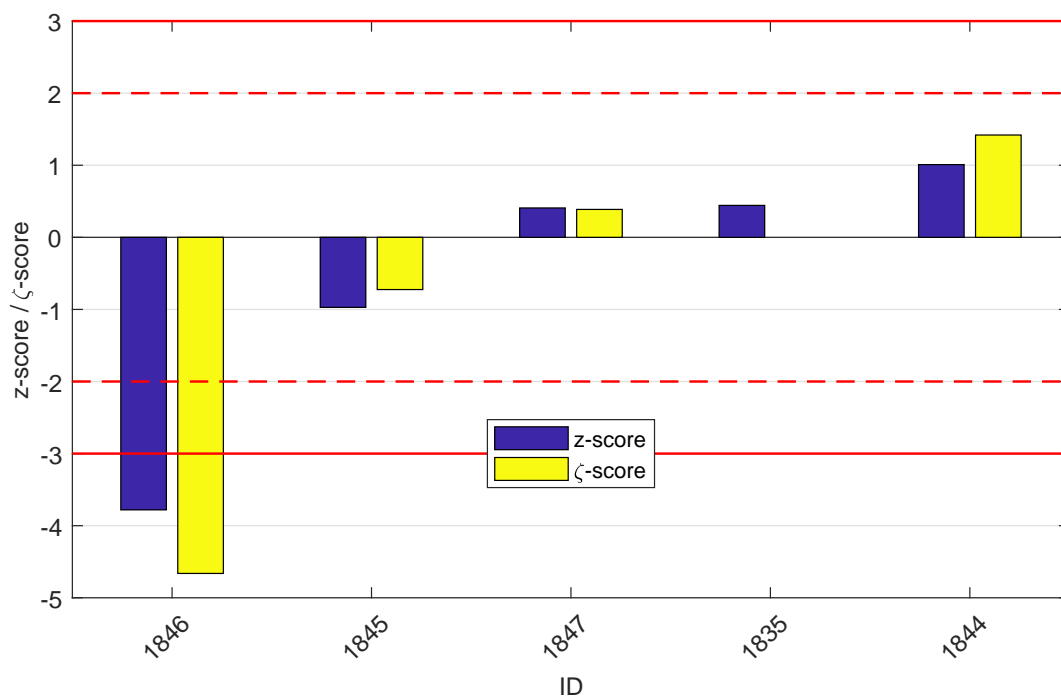
Obrázek 14: Graf průměrných hodnot výsledků zkoušek a výběrových směrodatných odchylek



Obrázek 15: Graf průměrných hodnot výsledků zkoušek a rozšířených nejistot měření



Obrázek 16: Histogram všech výsledků zkoušek



Obrázek 17: z-score a ζ-score

Tabulka 6: Výsledné hodnoty z-score a ζ -score

ID	z-score [-]	ζ -score [-]
1846	-2.48	-3.97
1845	-0.50	-0.51
1847	0.48	0.60
1835	0.50	-
1844	0.90	1.60

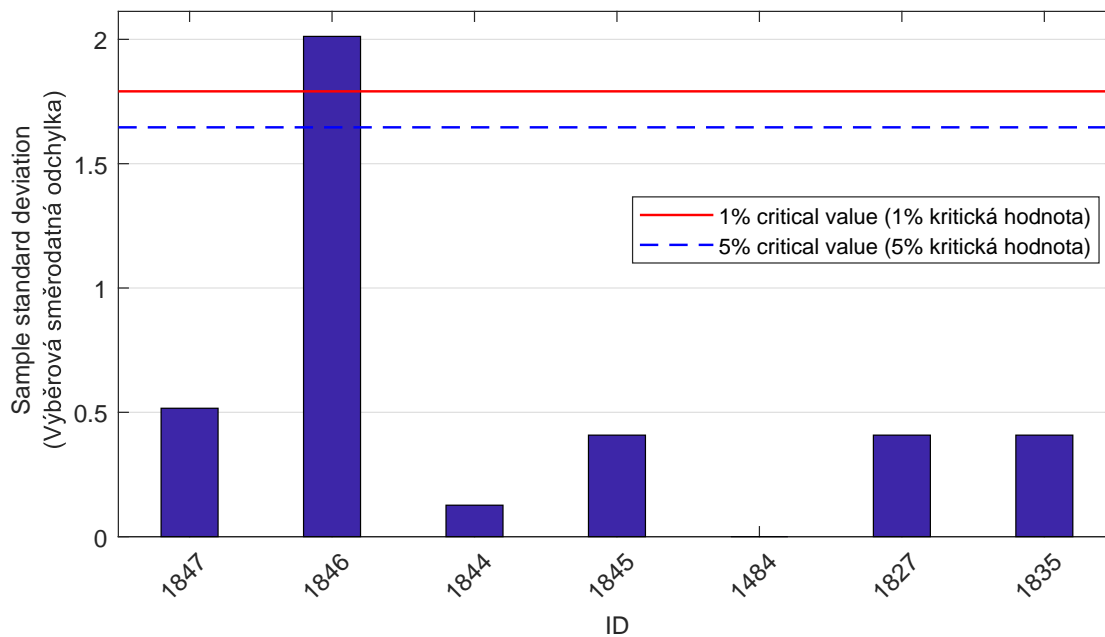
2.2 Poměrný objem otvorů

2.2.1 Výsledky zkoušek

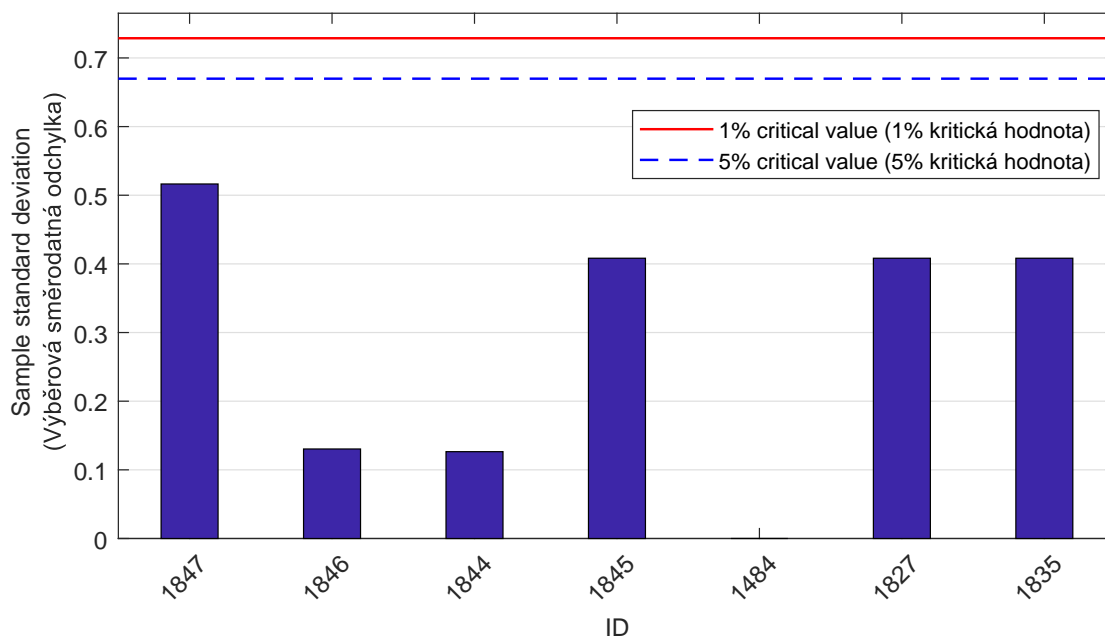
Tabulka 7: Výsledky zkoušek - seřazené podle průměrné hodnoty. Odlehlé hodnoty jsou vyznačeny hvězdičkou. u_X - rozšířená nejistota účastníka; \bar{x} - aritmetický průměr; s_0 - výběrová směrodatná odchylka; V_X - variační koeficient

ID účastníka	Výsledky zkoušek						u_X [%]	\bar{x} [%]	s_0 [%]	V_X [%]
	[%]									
1847	52.0	52.0	52.0	52.0	51.0	51.0	0.5	51.7	0.5	1.00
1846	52.5	52.4	52.4	52.6	47.6*	52.7	0.7	51.7	2.0	3.89
1844	51.9	51.7	51.7	52.0	51.8	51.7	0.5	51.8	0.1	0.24
1845	52.0	52.0	51.0	52.0	52.0	52.0	1.4	51.8	0.4	0.79
1484	52.0	52.0	52.0	-	-	-	2.0	52.0	0.0	0.00
1827	53.0	52.0	52.0	52.0	52.0	52.0	1.4	52.2	0.4	0.78
1835	52.0	52.0	52.0	53.0	52.0	52.0	-	52.2	0.4	0.78

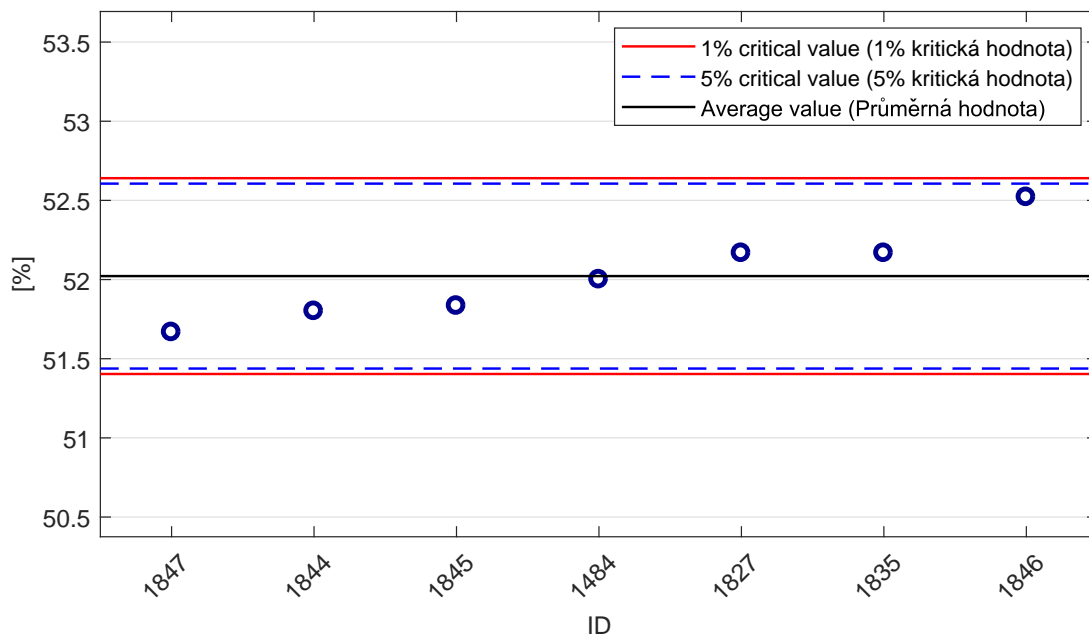
2.2.2 Numerické zhodnocení odlehlých hodnot



Obrázek 18: **Cochranův test** - graf výběrových směrodatných odchylek: 1% kritická hodnota - červená barva; 5% kritická hodnota - modrá barva

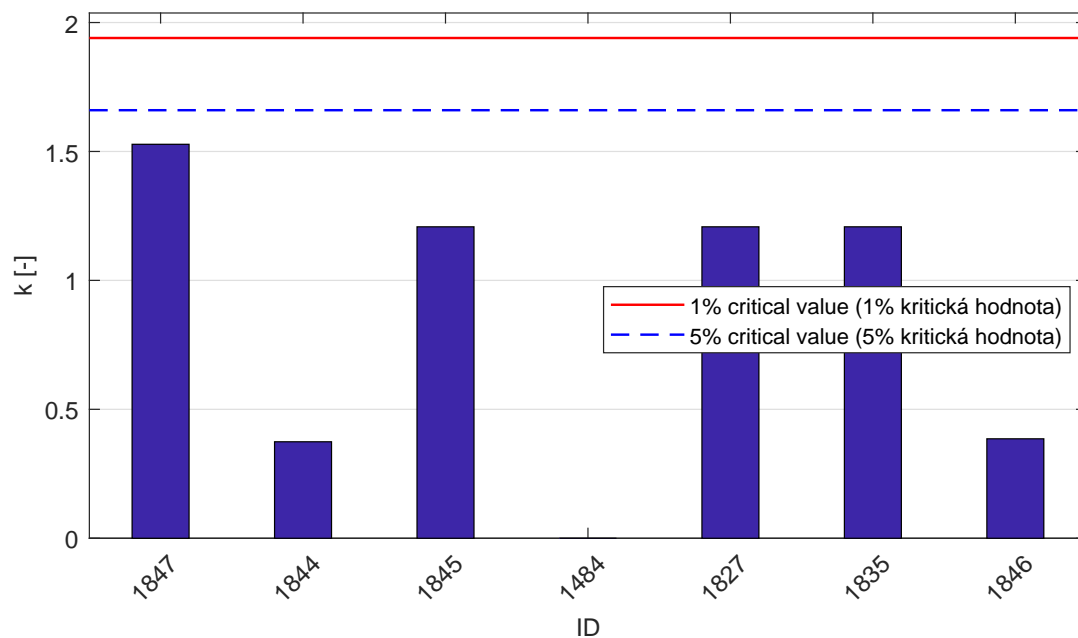


Obrázek 19: **Cochranův test** - graf výběrových směrodatných odchylek po vyřazení odlehlých hodnot: 1% kritická hodnota - červená barva; 5% kritická hodnota - modrá barva

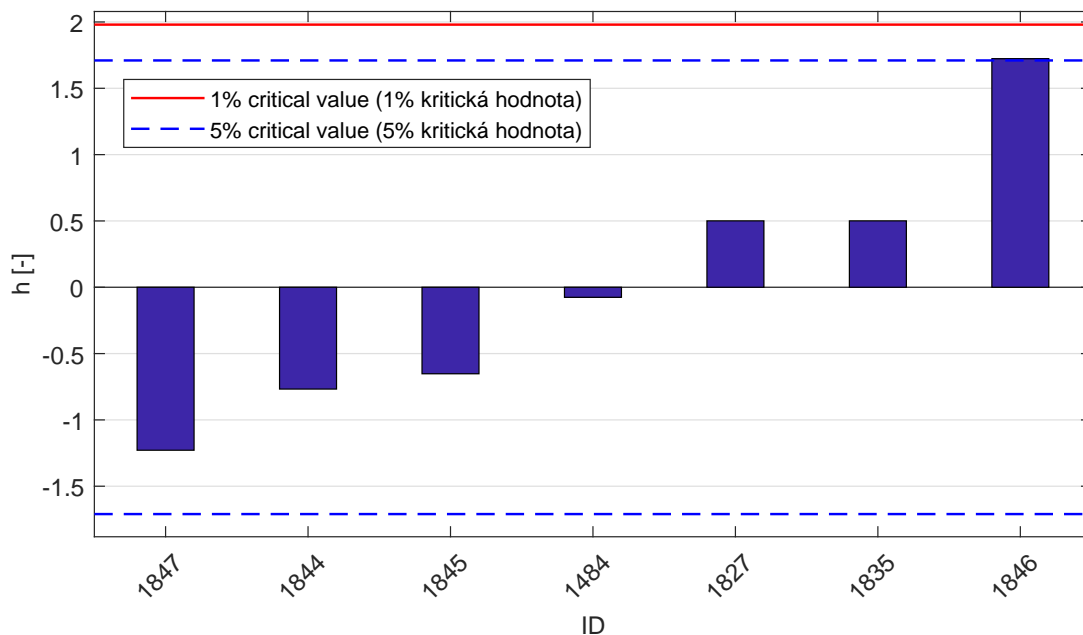


Obrázek 20: **Grubbsův test** - graf průměrných hodnot: 1% kritická hodnota - červená barva; 5% kritická hodnota - modrá barva

2.2.3 Mandelovy statistiky konzistence

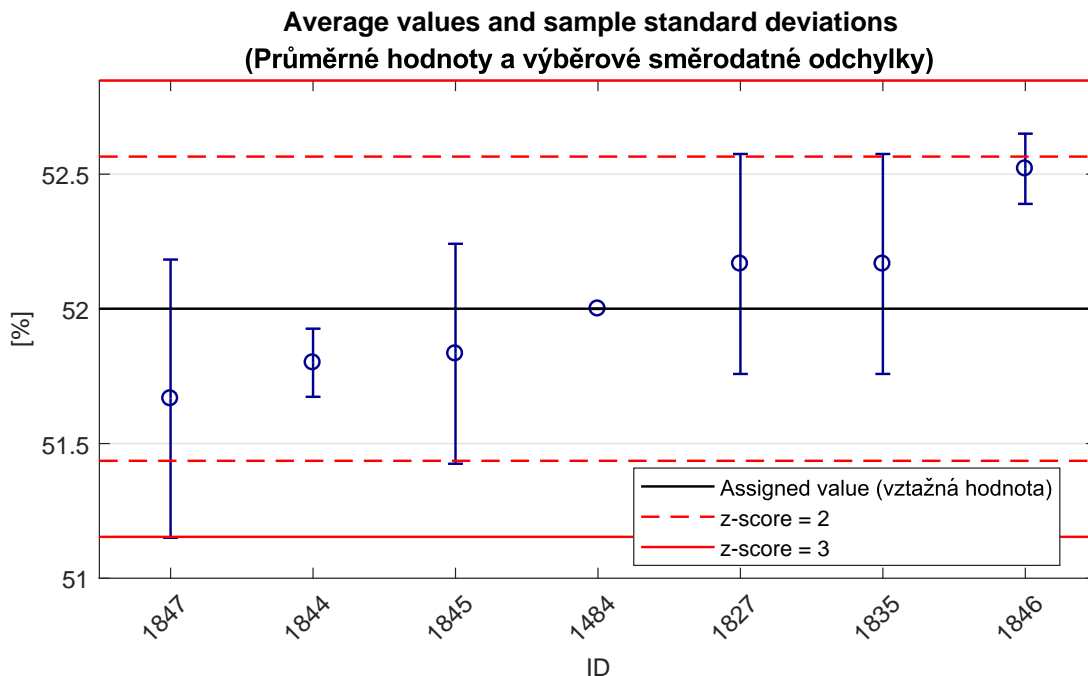


Obrázek 21: Vnitrolaboratorní statistika konzistence: 1% kritická hodnota - červená barva; 5% kritická hodnota - modrá barva

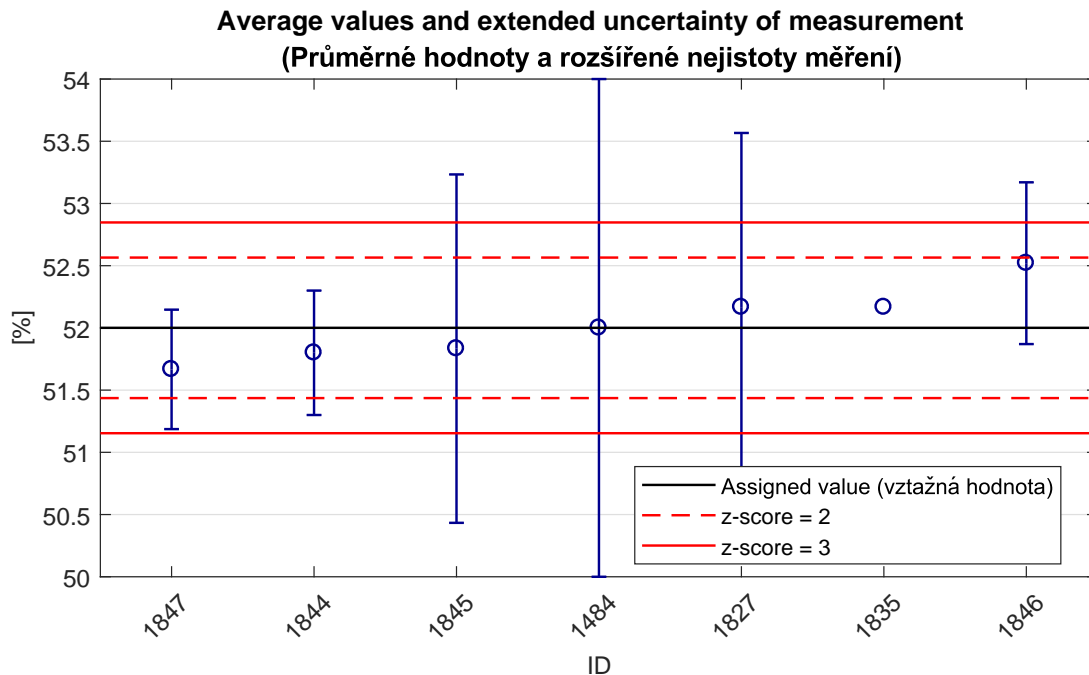


Obrázek 22: Mezilaboratorní statistika konzistence: 1% kritická hodnota - červená barva; 5% kritická hodnota - modrá barva

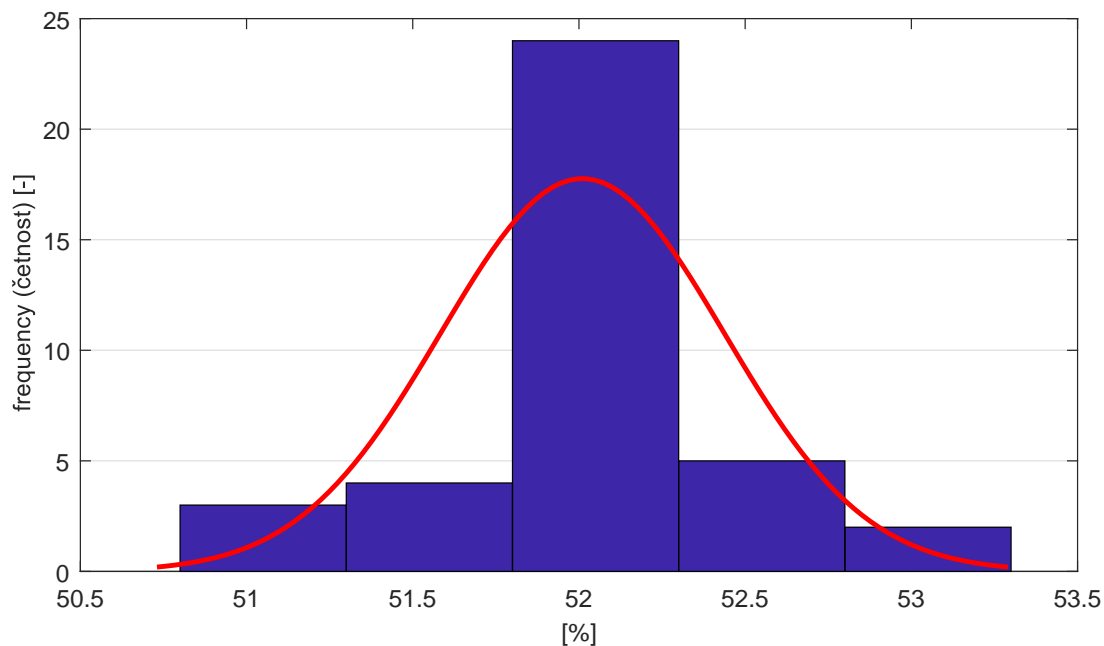
2.2.4 Vyhodnocení výkonnosti účastníků



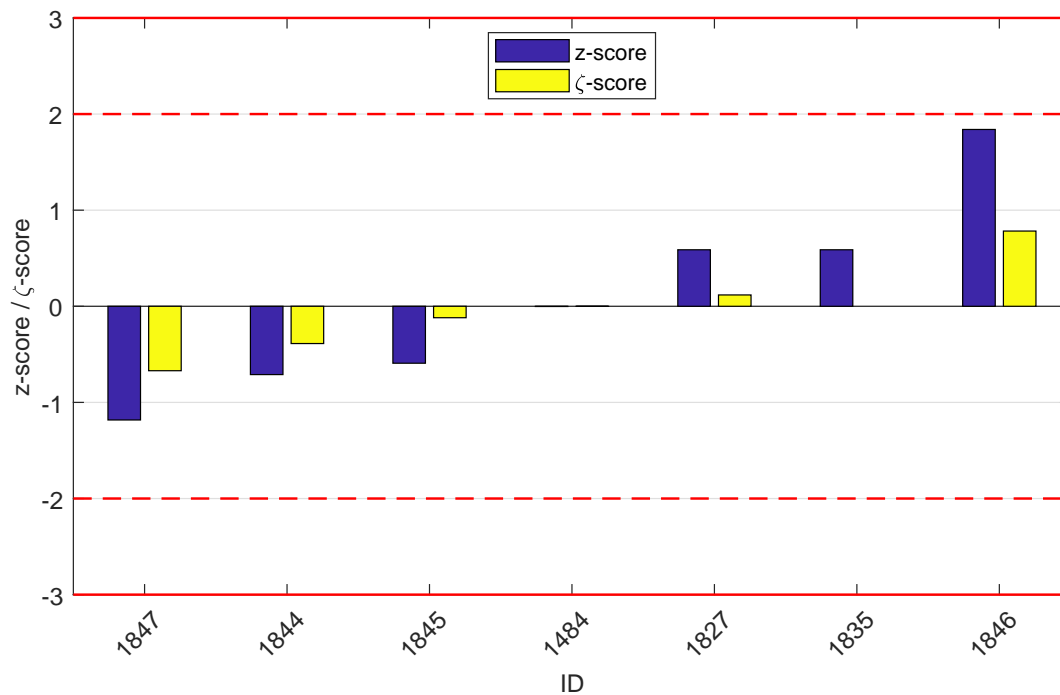
Obrázek 23: Graf průměrných hodnot výsledků zkoušek a výběrových směrodatných odchylek



Obrázek 24: Graf průměrných hodnot výsledků zkoušek a rozšířených nejistot měření



Obrázek 25: Histogram všech výsledků zkoušek



Obrázek 26: z-score a ζ-score

Tabulka 8: Výsledné hodnoty z-score a ζ-score

ID	z-score [-]	ζ-score [-]
1847	-1.18	-0.67
1844	-0.71	-0.39
1845	-0.59	-0.12
1484	-0.00	-0.00
1827	0.59	0.12
1835	0.59	-
1846	1.84	0.78

3 Příloha – ČSN EN 772-6 (Pevnost v tahu za ohybu)

Zkouška neotevřena pro nízký počet účastníků.

4 Příloha – ČSN EN 772-7 (Nasákavost varem)

Zkouška neotevřena pro nízký počet účastníků.

5 Příloha – ČSN EN 772-10 (Vlhkost)

Zkouška neotevřena pro nízký počet účastníků.

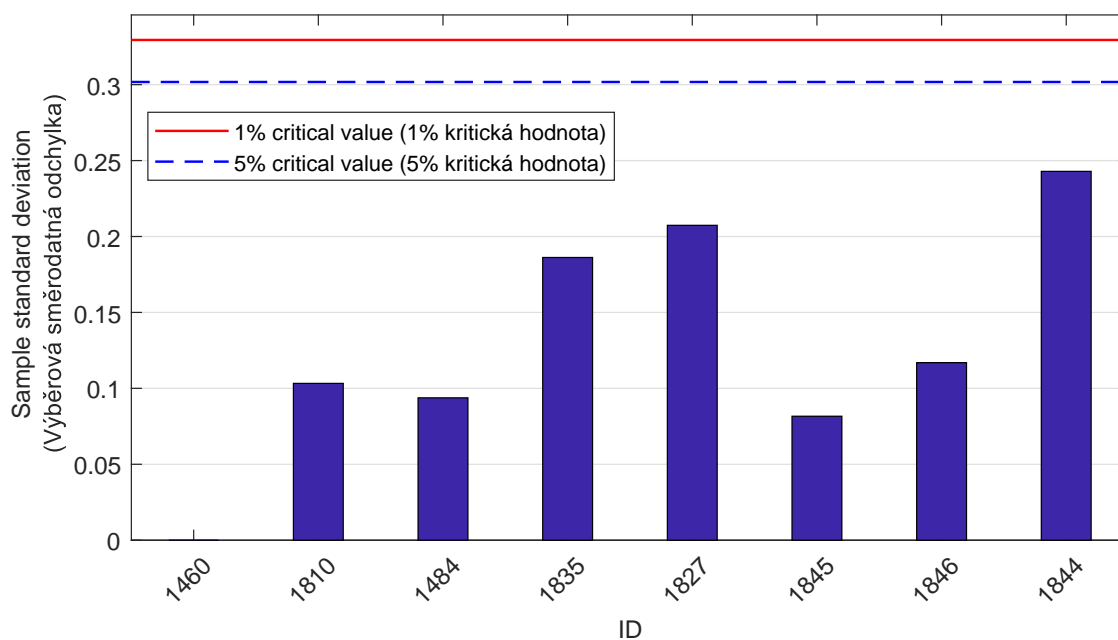
6 Příloha – ČSN EN 772-11 (Nasákavost)

6.1 Výsledky zkoušek

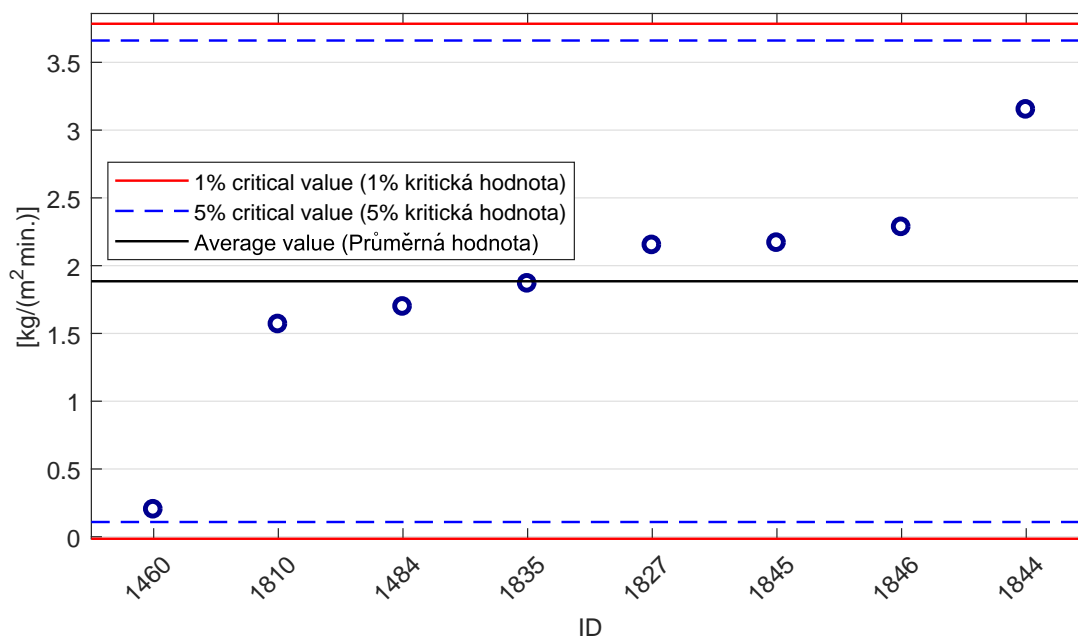
Tabulka 9: Výsledky zkoušek - seřazené podle průměrné hodnoty. Odlehlé hodnoty jsou vyznačeny hvězdičkou. u_X - rozšířená nejistota účastníka; \bar{x} - aritmetický průměr; s_0 - výběrová směrodatná odchylka; V_X - variační koeficient

ID účastníka	Výsledky zkoušek [kg/(m ² min.)]						u_X [kg/(m ² min.)]	\bar{x} [kg/(m ² min.)]	s_0 [kg/(m ² min.)]	V_X [%]
1460	0.2	0.2	0.2	0.2	0.2	0.2	-	0.2	0.0	0.00
1810	1.5	1.7	1.5	1.5	1.5	1.7	-	1.6	0.1	6.59
1484	1.6	1.8	1.7	-	-	-	0.1	1.7	0.1	5.53
1835	1.8	1.8	1.7	1.7	2.1	2.1	0.3	1.9	0.2	9.97
1827	2.3	2.2	2.3	1.8	2.3	2.0	0.1	2.1	0.2	9.64
1845	2.2	2.1	2.1	2.1	2.3	2.2	0.0	2.2	0.1	3.77
1846	2.4	2.4	2.2	2.1	2.3	2.3	0.1	2.3	0.1	5.12
1844	3.2	3.3	2.8	3.1	3.0	3.5	0.1	3.1	0.2	7.71

6.2 Numerické zhodnocení odlehých hodnot

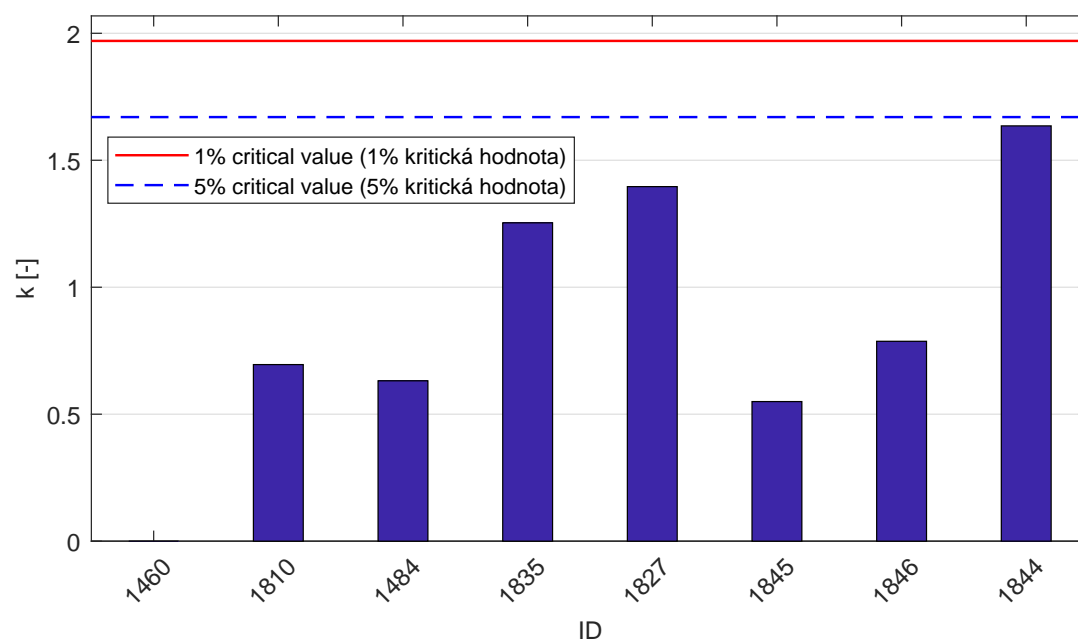


Obrázek 27: **Cochranův test** - graf výběrových směrodatných odchylek: 1% kritická hodnota - červená barva; 5% kritická hodnota - modrá barva

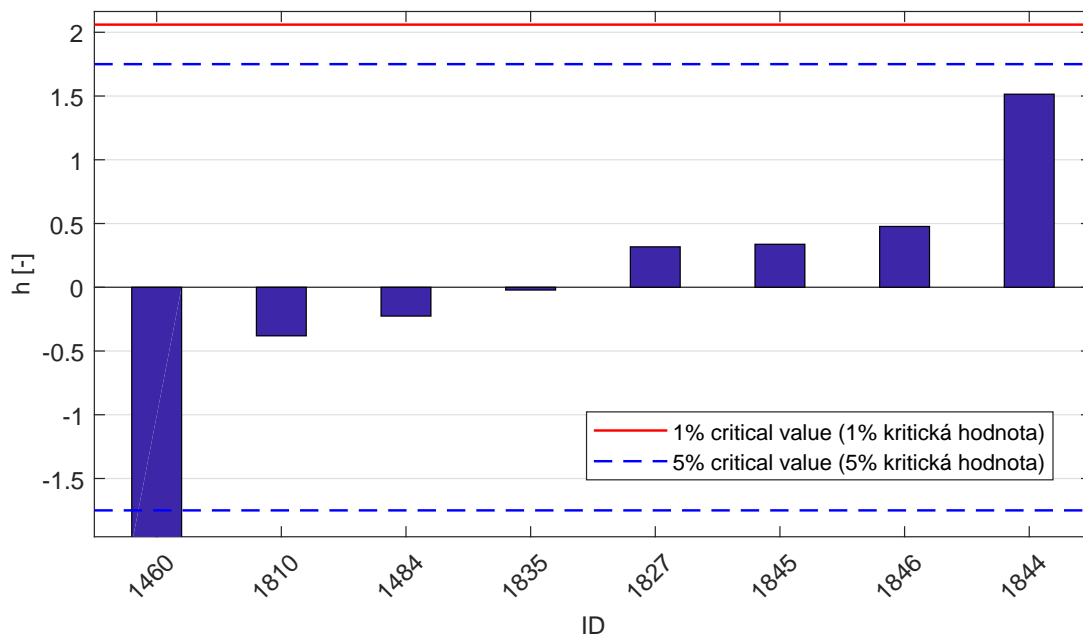


Obrázek 28: **Grubbsův test** - graf průměrných hodnot: 1% kritická hodnota - červená barva; 5% kritická hodnota - modrá barva

6.3 Mandelovy statistiky konzistence

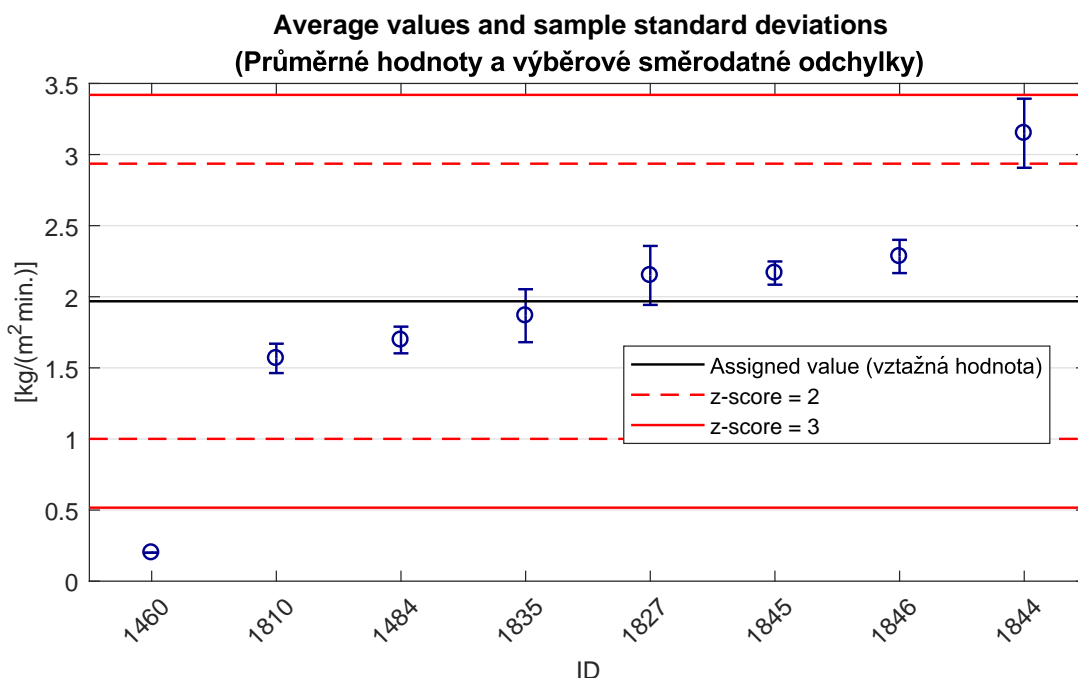


Obrázek 29: Vnitrolaboratorní statistika konzistence: 1% kritická hodnota - červená barva; 5% kritická hodnota - modrá barva

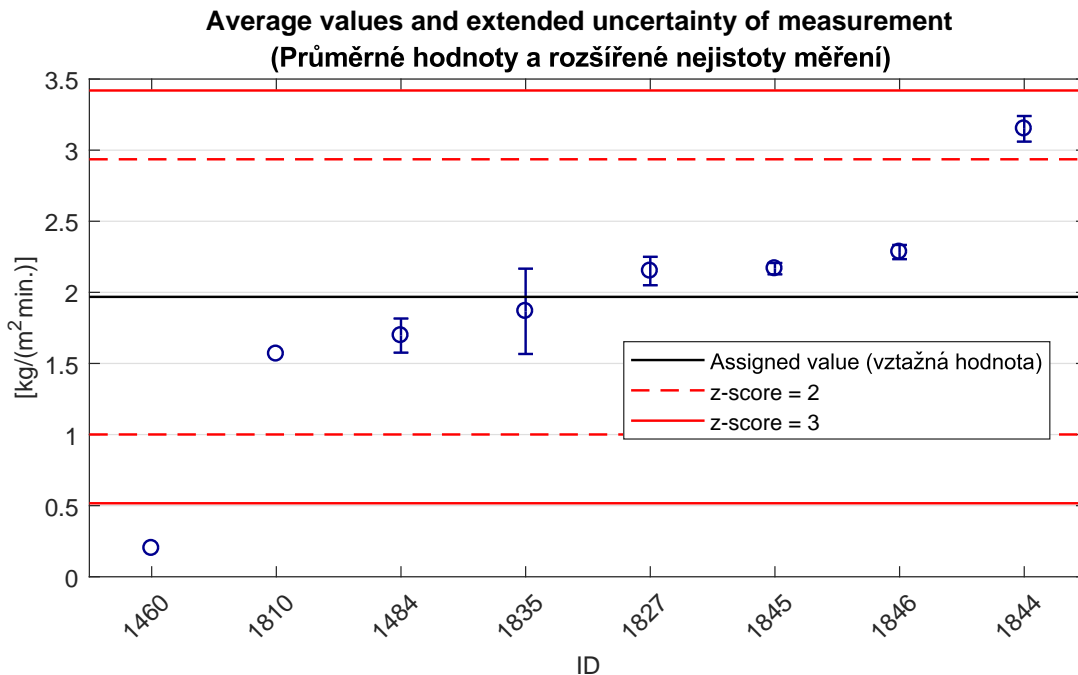


Obrázek 30: Mezilaboratorní statistika konzistence: 1% kritická hodnota - červená barva; 5% kritická hodnota - modrá barva

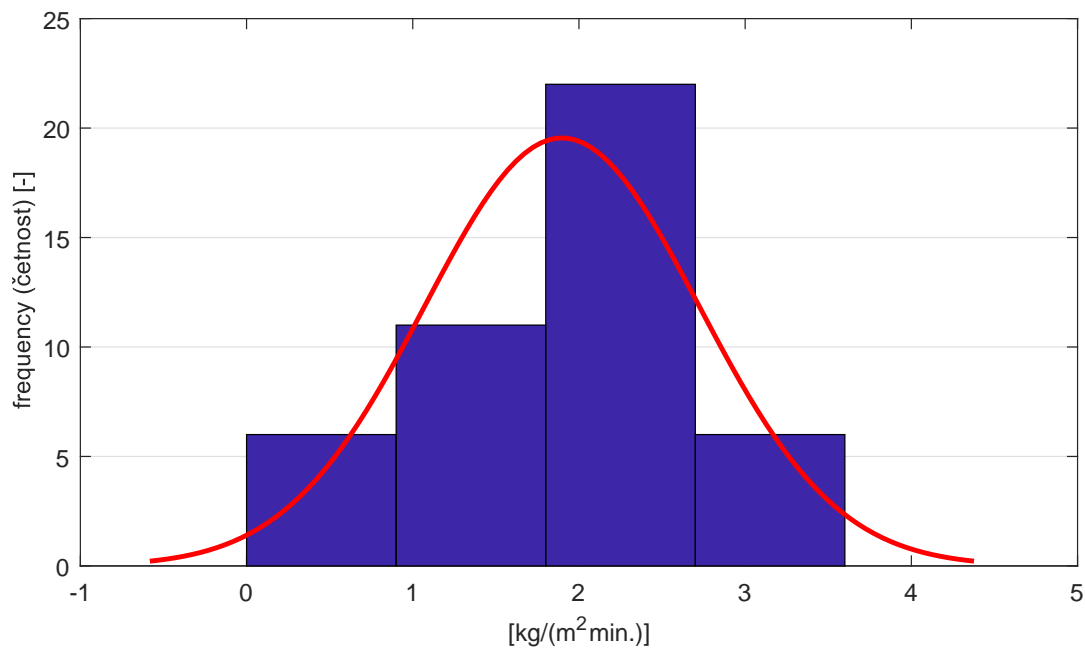
6.4 Vyhodnocení výkonnosti účastníků



Obrázek 31: Graf průměrných hodnot výsledků zkoušek a výběrových směrodatných odchylek



Obrázek 32: Graf průměrných hodnot výsledků zkoušek a rozšířených nejistot měření



Obrázek 33: Histogram všech výsledků zkoušek

Obrázek 34: z-score a ζ -scoreTabulka 10: Výsledné hodnoty z-score a ζ -score

ID	z-score [-]	ζ -score [-]
1460	-3.65	-
1810	-0.83	-
1484	-0.56	-1.11
1835	-0.21	-0.28
1827	0.38	0.77
1845	0.41	0.91
1846	0.65	1.44
1844	2.44	5.09

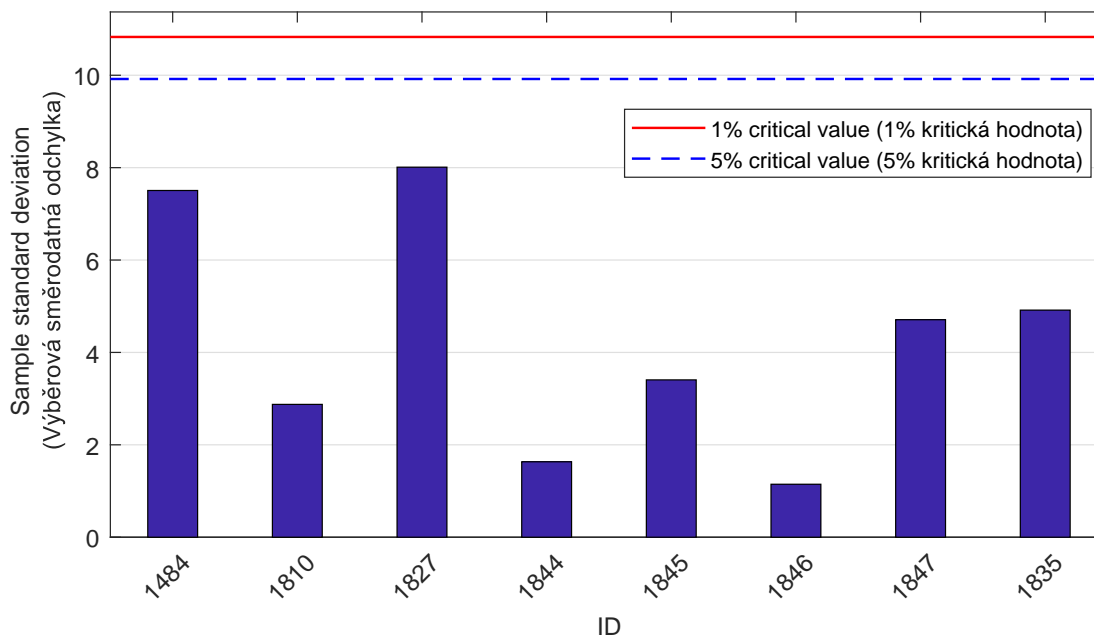
7 Příloha – ČSN EN 772-13 (Objemová hmotnost)

7.1 Výsledky zkoušek

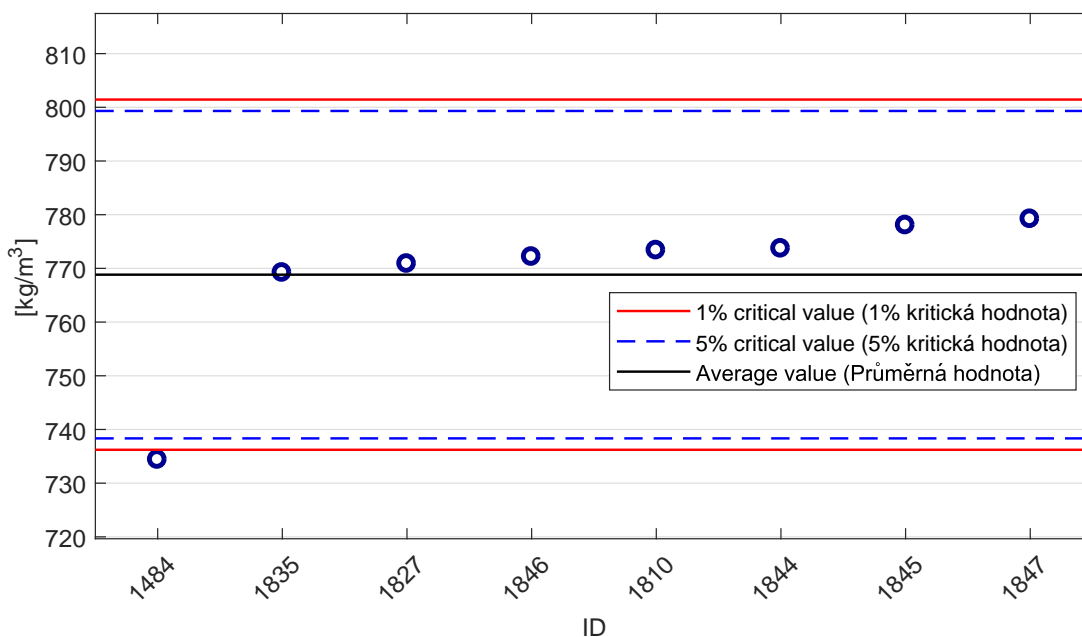
Tabulka 11: Výsledky zkoušek - seřazené podle průměrné hodnoty. Odlehlé hodnoty jsou vyznačeny hvězdičkou. u_X - rozšířená nejistota účastníka; \bar{x} - aritmetický průměr; s_0 - výběrová směrodatná odchylka; V_X - variační koeficient

ID účastníka	Výsledky zkoušek [kg/m ³]						u_X [kg/m ³]	\bar{x} [kg/m ³]	s_0 [kg/m ³]	V_X [%]
1484*	742	734	727	-	-	-	15	734	8	1.02
1835	770	770	770	760	770	775	58	769	5	0.64
1827	765	765	770	765	775	785	25	771	8	1.04
1846	774	772	772	770	773	771	1	772	1	0.15
1810	778	775	771	770	773	773	-	773	3	0.37
1844	774	774	774	773	771	776	2	774	2	0.21
1845	778	779	776	784	777	774	2	778	3	0.44
1847	774	779	782	787	776	777	3	779	5	0.60

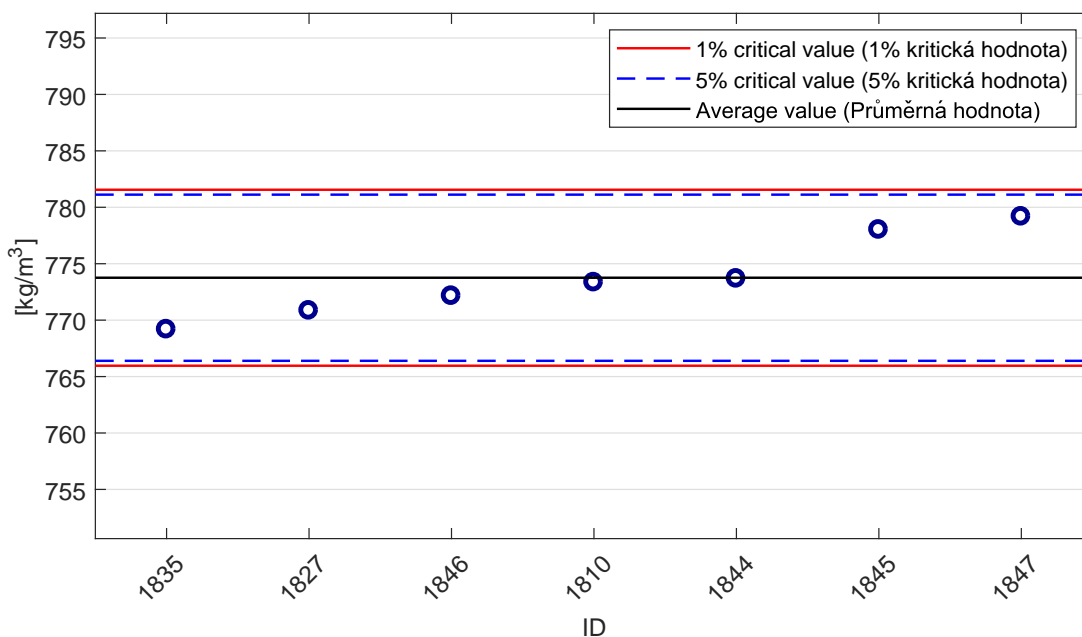
7.2 Numerické zhodnocení odlehlých hodnot



Obrázek 35: **Cochranův test** - graf výběrových směrodatných odchylek: 1% kritická hodnota - červená barva; 5% kritická hodnota - modrá barva

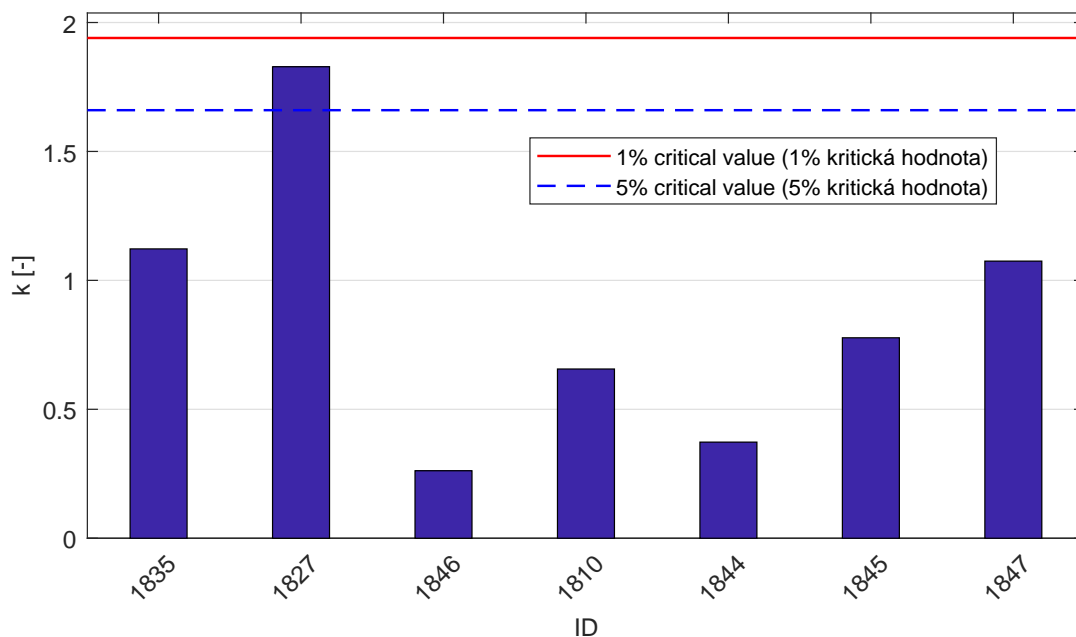


Obrázek 36: **Grubbsův test** - graf průměrných hodnot: 1% kritická hodnota - červená barva; 5% kritická hodnota - modrá barva

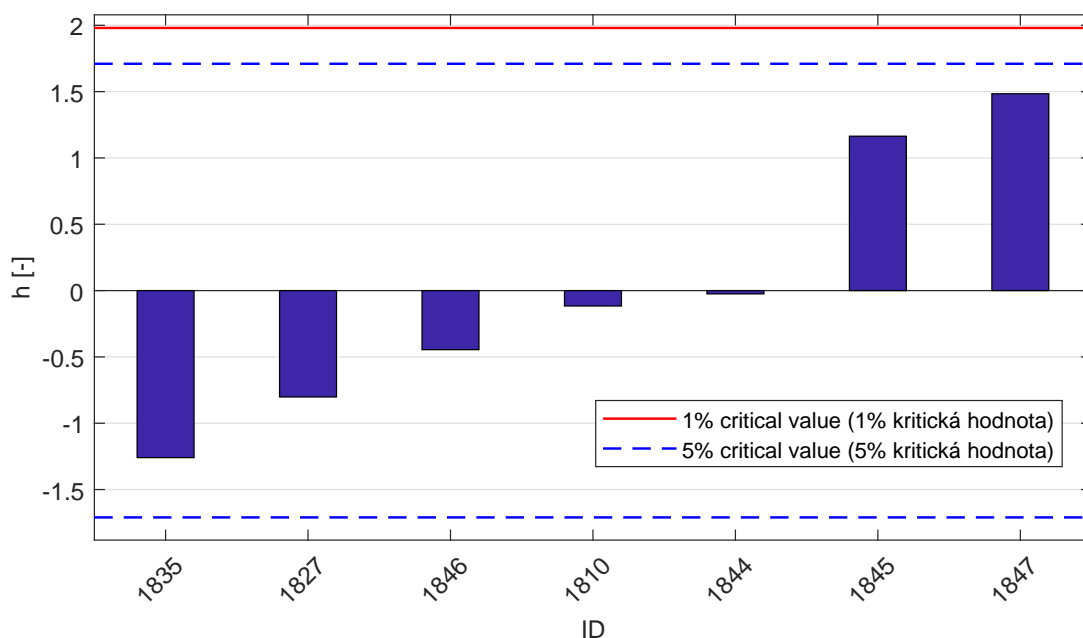


Obrázek 37: **Grubbsův test** - graf průměrných hodnot po vyřazení odlehlých hodnot: 1% kritická hodnota - červená barva; 5% kritická hodnota - modrá barva

7.3 Mandelovy statistiky konzistence

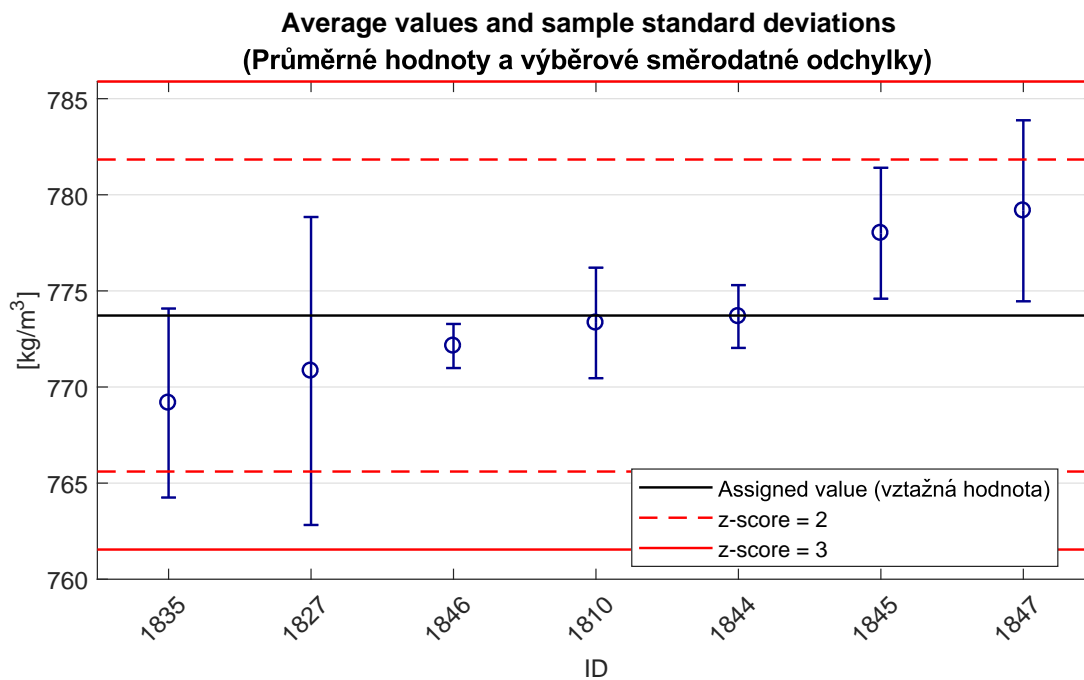


Obrázek 38: Vnitrolaboratorní statistika konzistence: 1% kritická hodnota - červená barva; 5% kritická hodnota - modrá barva

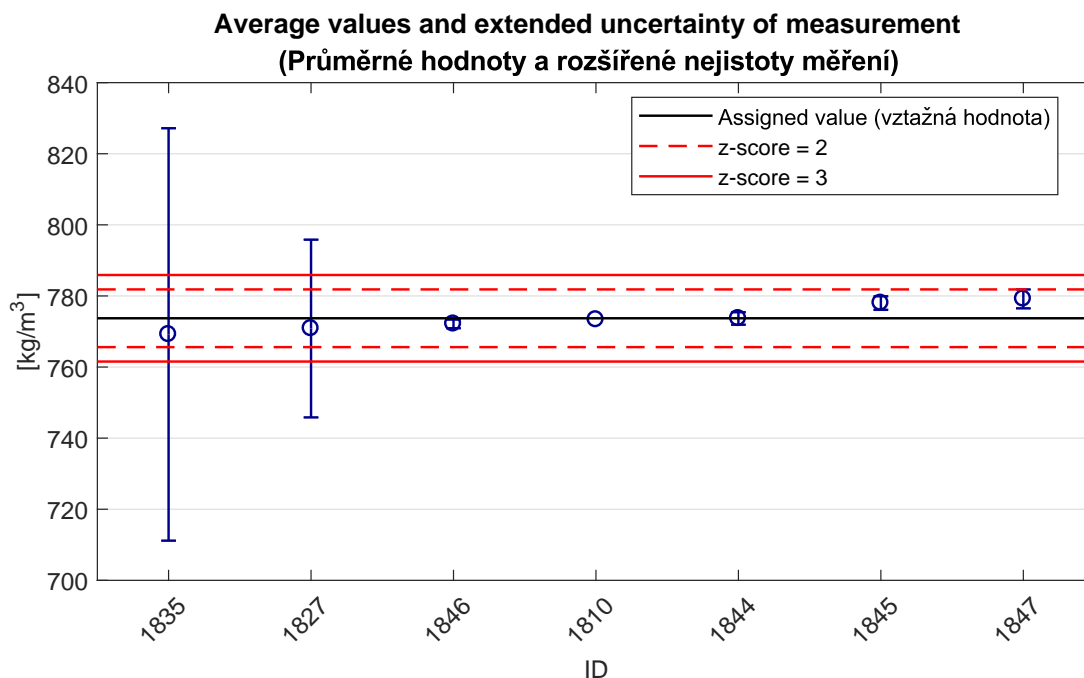


Obrázek 39: Mezilaboratorní statistika konzistence: 1% kritická hodnota - červená barva; 5% kritická hodnota - modrá barva

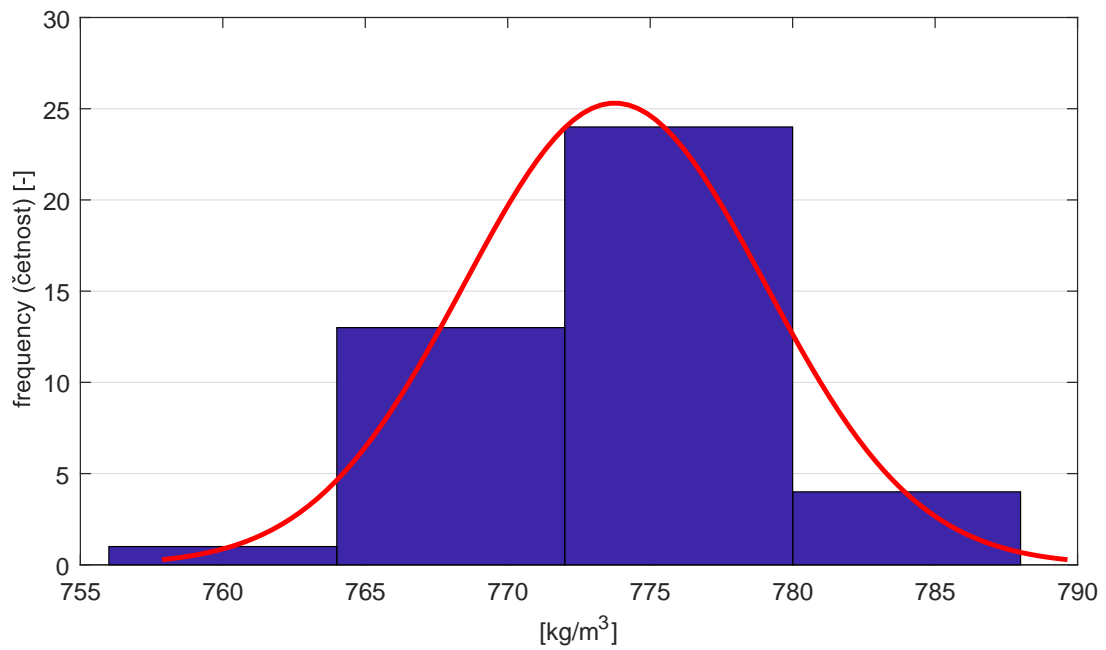
7.4 Vyhodnocení výkonnosti účastníků



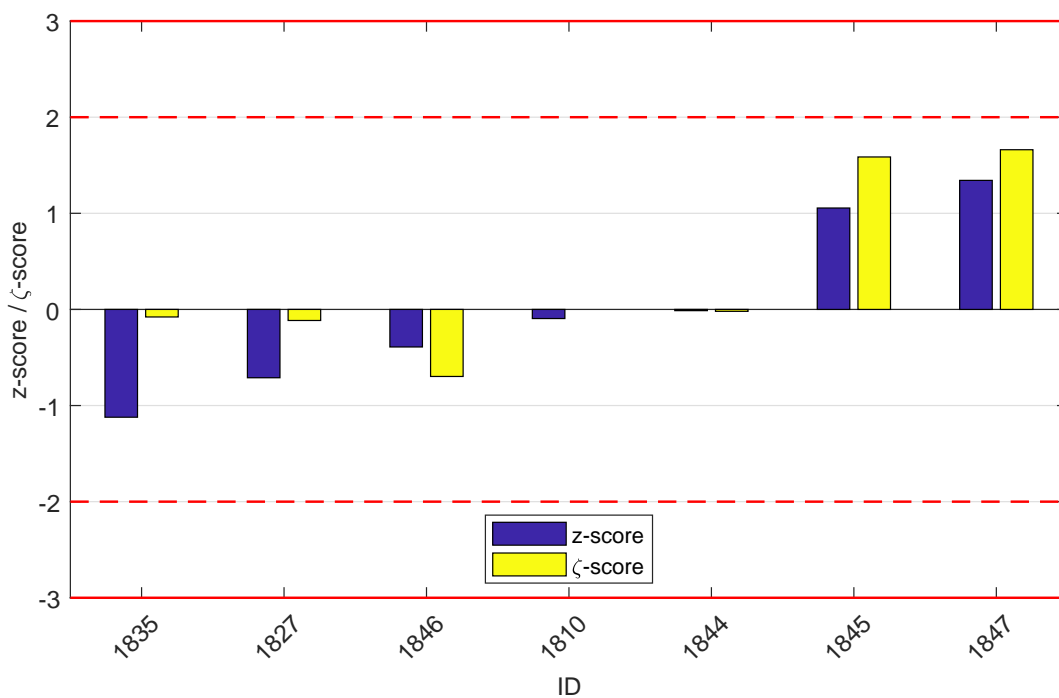
Obrázek 40: Graf průměrných hodnot výsledků zkoušek a výběrových směrodatných odchylek



Obrázek 41: Graf průměrných hodnot výsledků zkoušek a rozšířených nejistot měření



Obrázek 42: Histogram všech výsledků zkoušek



Obrázek 43: z-score a ζ-score

Tabulka 12: Výsledné hodnoty z-score a ζ -score

ID	z-score [-]	ζ -score [-]
1827	-1.02	-0.14
1846	-0.64	-1.03
1810	-0.29	-
1844	-0.19	-0.27
1845	1.08	1.43
1847	1.42	1.52

8 Příloha – ČSN EN 15435, čl. 4.9.3, Příloha B (Pevnost bočnic v ohybu)

Zkouška neotevřena pro nízký počet účastníků.

9 Příloha – ČSN EN 15435, čl. 5.2 (Objemová hmotnost)

Zkouška neotevřena pro nízký počet účastníků.